

Montagnes de fine échelle & Dynamique du MC2

C. Girard, M. Desgagné & R. Benoit

Recherche en Prévision Dynamique

Merci à
P. Pellerin
S. Chamberland

Question:

Montagnes & Advection semi-Lagrangienne ...
Y aurait-il encore un problème?

Réponse:

Oui, certainement, bien qu'à très fine échelle,
du moins dans le MC2,
du moins encore il n'y a pas si longtemps!

...une histoire à raconter ...

Il y a eu l'expérience Mesoscale Alpine Program

Benoît, R., S. Chamberland, M. Desgagné, C. Girard, P. Pellerin, W. Yu et al., 2002: The real-time *ultrafine forecast* support during the special observing period of the MAP, Bull. Amer. Meteor. Soc. **83**, 85-109.

Il y a eu Christoph Shaer et son équipe à l'ETH (Suisse)

Shaer, C. et al. [C. Girard] , 2002: A *new terrain-following vertical coordinate* formulation for high resolution numerical weather prediction models, Mon. Wea. Rev., **130**, 2459-2480.

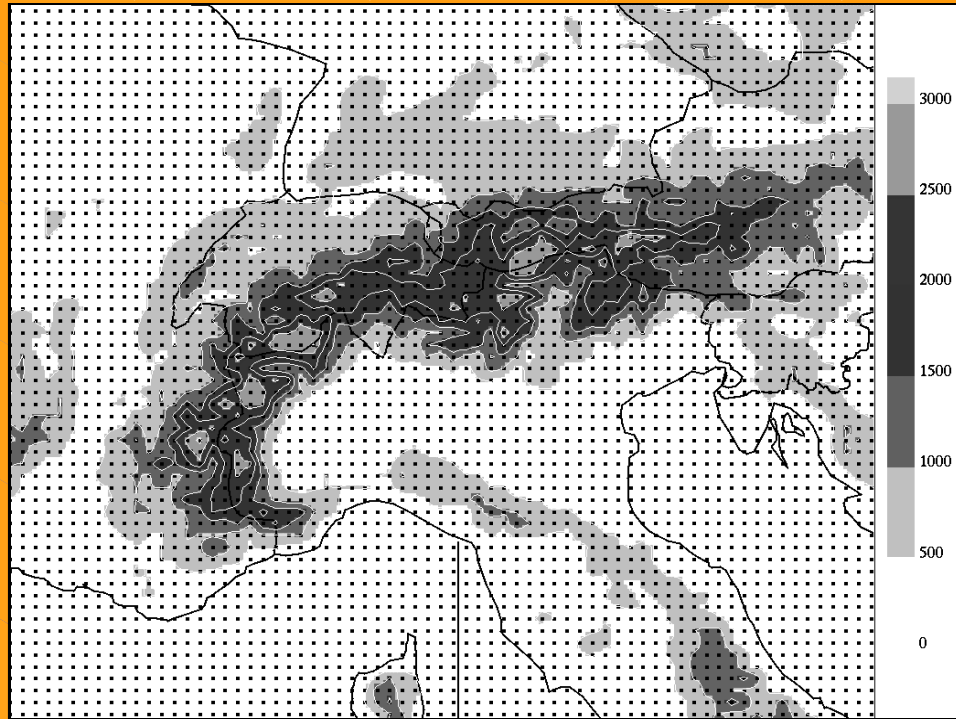
Il y a eu Joseph Klemp et ses collègues au NCAR

Klemp et al., 2002: *Numerical consistency of finite differencing in terrain-following coordinates*, Mon. Wea. Rev.

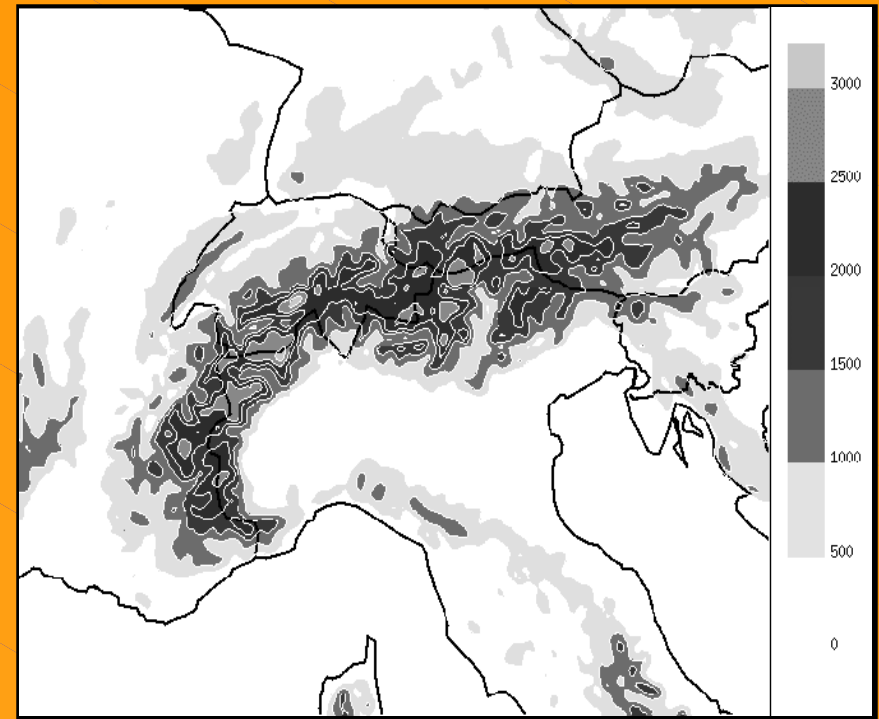
Il y a nous

Benoit, R., C. Girard, M. Desgagné, S. Chamberland, W. Yu, 2002: *Finescale orography and the MC2 dynamics kernel*, MAP conference, Denver

MC2 a servi pour faire les prévisions à travers les Alpes avec une résolution de 3 km durant la campagne de mesure MAP en 1999.



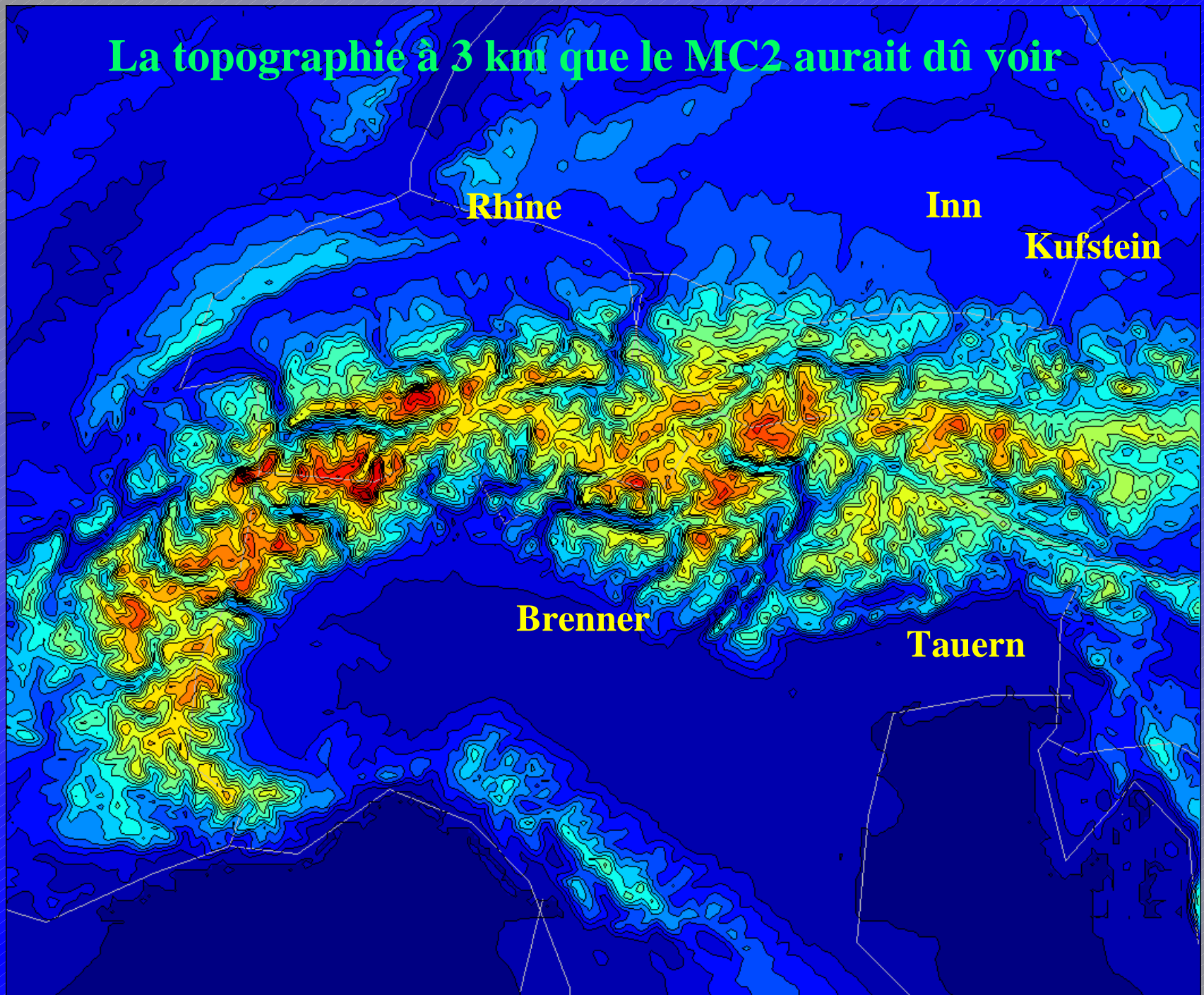
Terrain du modèle suisse,
résolution de 14 km



Terrain du MC2 MAP-SOP,
résolution de 3 km

Un problème?

La topographie à 3 km que le MC2 aurait dû voir



Shaer propose une nouvelle ...

Coordonnée Verticale Généralisée Z

$$\frac{\partial}{\partial z} = \frac{1}{G_0} \frac{\partial}{\partial Z}$$

$$\frac{d\mathbf{V}_H}{dt} + \nabla_z P = \mathbf{R}_H$$

$$\nabla_z = \nabla_z + \frac{\mathbf{G}}{G_0} \frac{\partial}{\partial Z} \quad \frac{dw}{dt} + \left(\frac{\partial}{\partial z} - \beta^* \right) P - B = R_w$$

$$\frac{d}{dt} [B - \gamma^* P] + w N_*^2 = R_B$$

$$\frac{d}{dt} \left(\frac{P}{c_*^2} \right) + \nabla_z \cdot \mathbf{V}_H + \left(\frac{\partial}{\partial z} - \frac{g}{c_*^2} \right) w = R_P$$

Coordonnée Verticale Généralisée Z

$$\frac{d\mathbf{V}_H}{dt} + \left(\nabla_z + \frac{\mathbf{G}}{G_o} \frac{\partial}{\partial Z} \right) P = \mathbf{R}_H$$

$$G_o = \frac{\partial z}{\partial Z}$$

$$\frac{dw}{dt} + \left(\frac{1}{G_o} \frac{\partial}{\partial Z} - \beta^* \right) P - B = R_w$$

$$-\mathbf{G} = \frac{\partial z}{\partial x} \mathbf{i} + \frac{\partial z}{\partial y} \mathbf{j}$$

$$\frac{d}{dt} [B - \gamma^* P] + w N_*^2 = R_B$$

$$\frac{d}{dt} \left(\frac{P}{c_*^2} \right) + \left(\nabla_z + \frac{\mathbf{G}}{G_o} \frac{\partial}{\partial Z} \right) \cdot \mathbf{V}_H + \left(\frac{1}{G_o} \frac{\partial}{\partial Z} - \frac{g}{c_*^2} \right) w = R_P$$

Coordonnée Verticale Généralisée Z

$$\mathbf{G} = G_1 \mathbf{i} + G_2 \mathbf{j} = -\nabla_{\mathbf{Z}} (z)$$

G représente
la métrique dans
la verticale

$$\begin{aligned} G_0 &= \frac{\partial z}{\partial Z} \\ -G_1 &= \frac{\partial z}{\partial x} \\ -G_2 &= \frac{\partial z}{\partial y} \end{aligned}$$

Coordonnée Verticale Généralisée Z

Shaer propose

GALCHEN

$$z(x, y, Z) = Z + z_0(x, y)b(z)$$

$$b = 1 - Z / H$$

ou

$$Z = H \frac{z - z_0}{H - z_0}$$

SLEVE

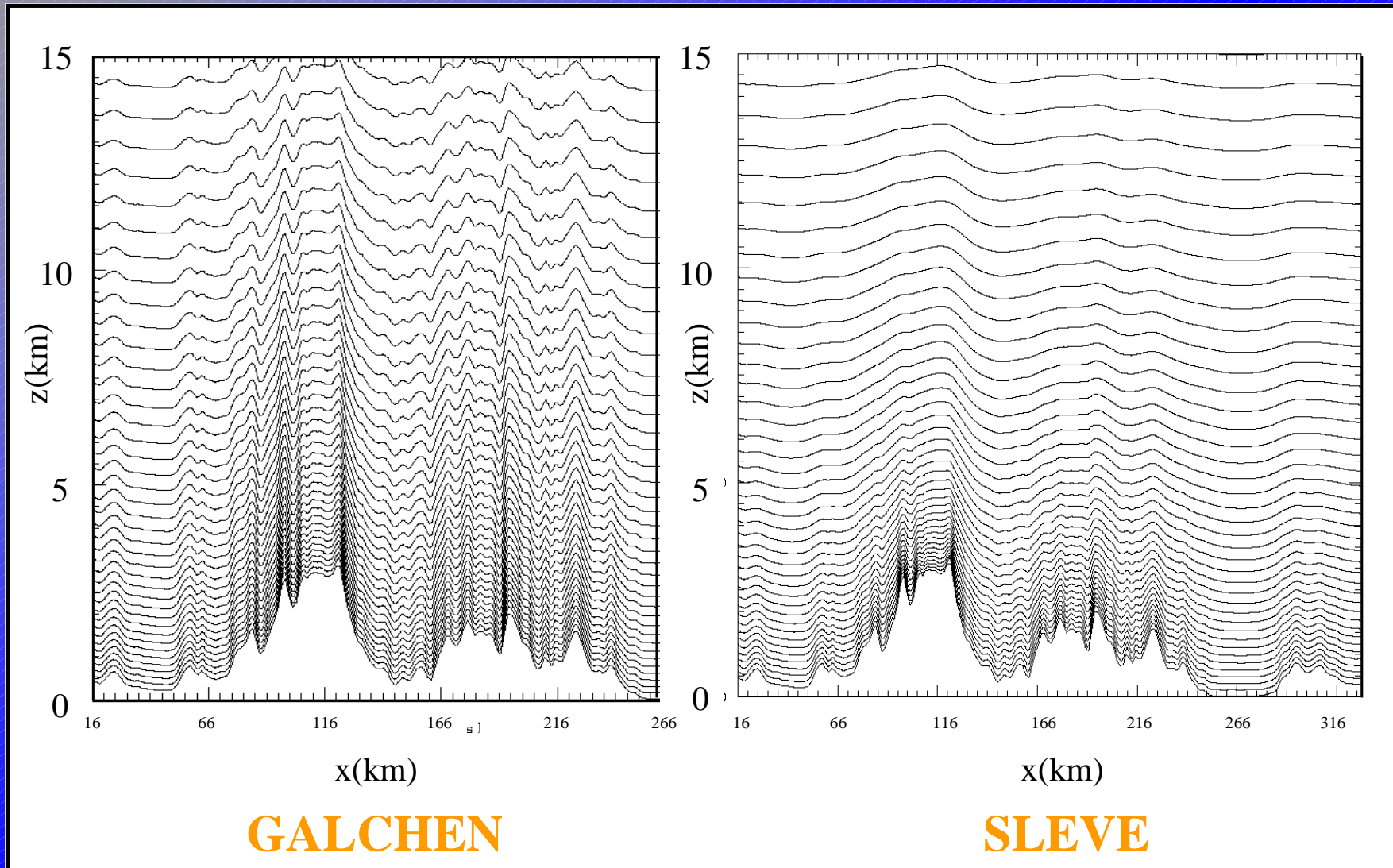
$$z = Z + z_{01}b_1 + z_{02}b_2$$

$$b_i = \frac{\sinh[(H-Z)/s_i]}{\sinh[H/s_i]}$$

$$z_{01} + z_{02} = z_0$$

e.g. $s_1 = 15 \text{ km}$; $s_2 = 3 \text{ km}$

Isolignes de $Z(x,z)$



*Shaer invente un test
théorique pour
vendre sa nouvelle
coordonnée ...*

MATLAB
Merci à
A. Plante

Ondes de montagne
simulation 2d

$$N_o = 10^{-2} s^{-1}; U_o = 10 ms^{-1}$$

$$T_o = 288 K; p_o = 10^5 Pa$$

$$z_o = z_{oo} e^{-\left(\frac{x}{a}\right)^2} \cos^2\left(\frac{\pi x}{\lambda}\right)$$

$$z_{oo} = 250 m; a = 5 km; \lambda = 4 km$$

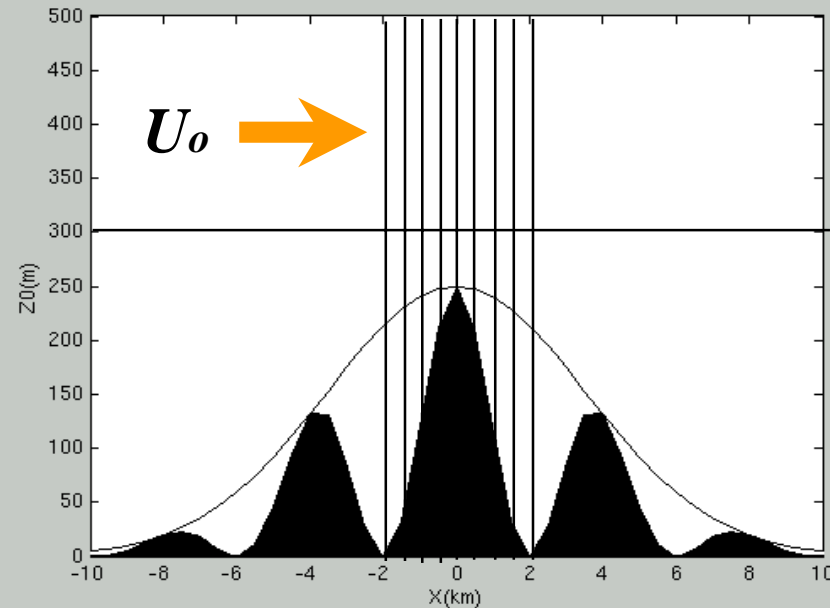
$$L = 200 km; H = 19.5 km$$

$$\Delta x = 0.5 km; \Delta Z = 0.3 km; \Delta t = 6 s$$

$$\lambda = 8\Delta x; s_1 = 5 km; s_2 = 2 km$$

$\Delta Z = 300 m$

$$z_o = 250.*\exp\left(-\left(x/5\right)^2\right)*\cos^2\left(\pi x/4\right)$$



19.5 km

$8\Delta x$

200 km

MC2 GALCHEN

Ondes de montagne
simulation 2d

$$N_o = 10^{-2} s^{-1}; U_o = 10 ms^{-1}$$

$$T_o = 288 K; p_o = 10^5 Pa$$

$$z_o = z_{oo} e^{-\left(\frac{x}{a}\right)^2} \cos^2\left(\frac{\pi x}{\lambda}\right)$$

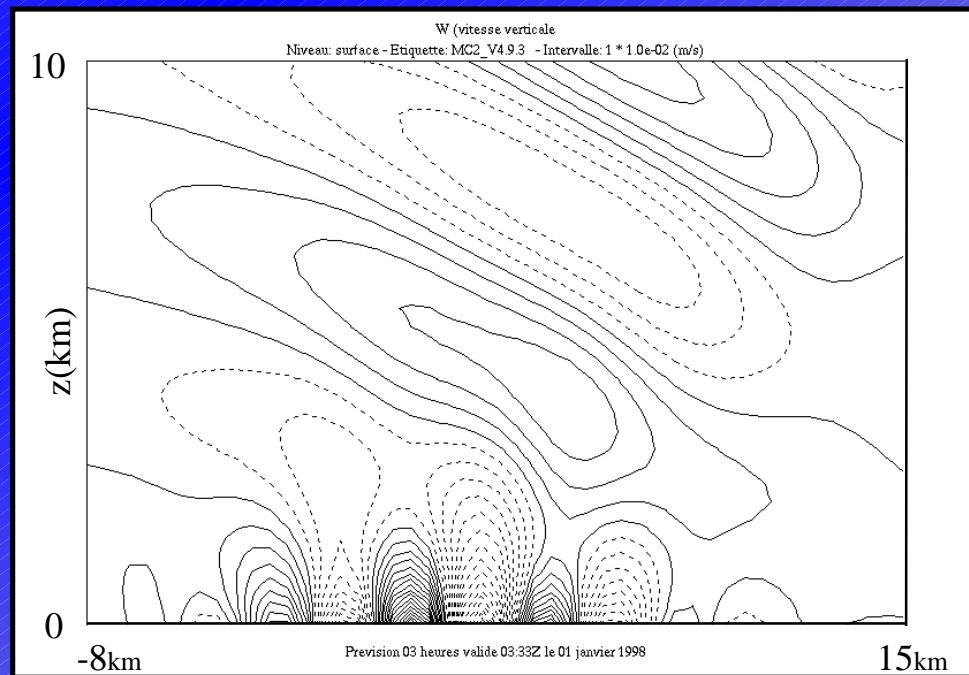
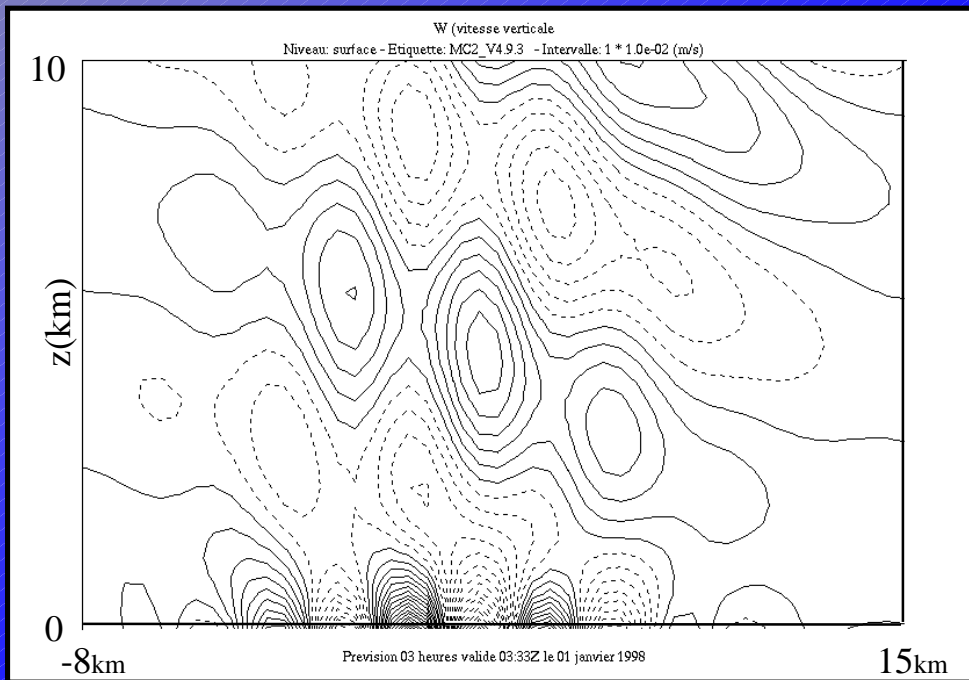
$$z_{oo} = 250 m; a = 5 km; \lambda = 4 km$$

$$L = 200 km; H = 19.5 km$$

$$\Delta x = 0.5 km; \Delta Z = 0.3 km; \Delta t = 6 s$$

$$\lambda = 8\Delta x; s_1 = 5 km; s_2 = 2 km$$

Solution
analytique



MC2 SLEVE

Ondes de montagne
simulation 2d

$$N_o = 10^{-2} s^{-1}; U_o = 10 ms^{-1}$$

$$T_o = 288 K; p_o = 10^5 Pa$$

$$z_o = z_{oo} e^{-\left(\frac{x}{a}\right)^2} \cos^2\left(\frac{\pi x}{\lambda}\right)$$

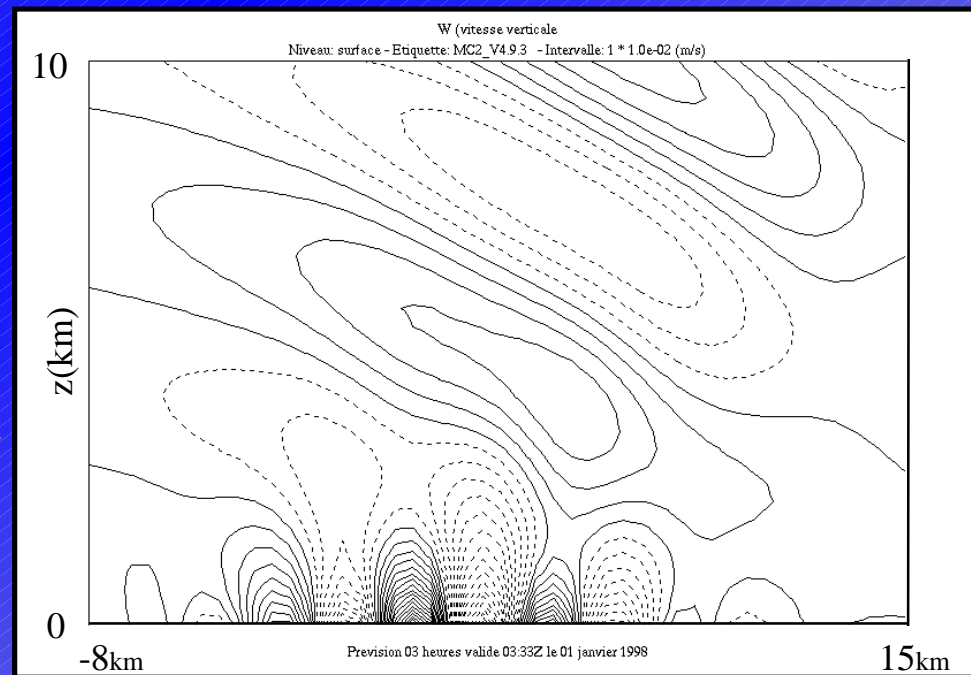
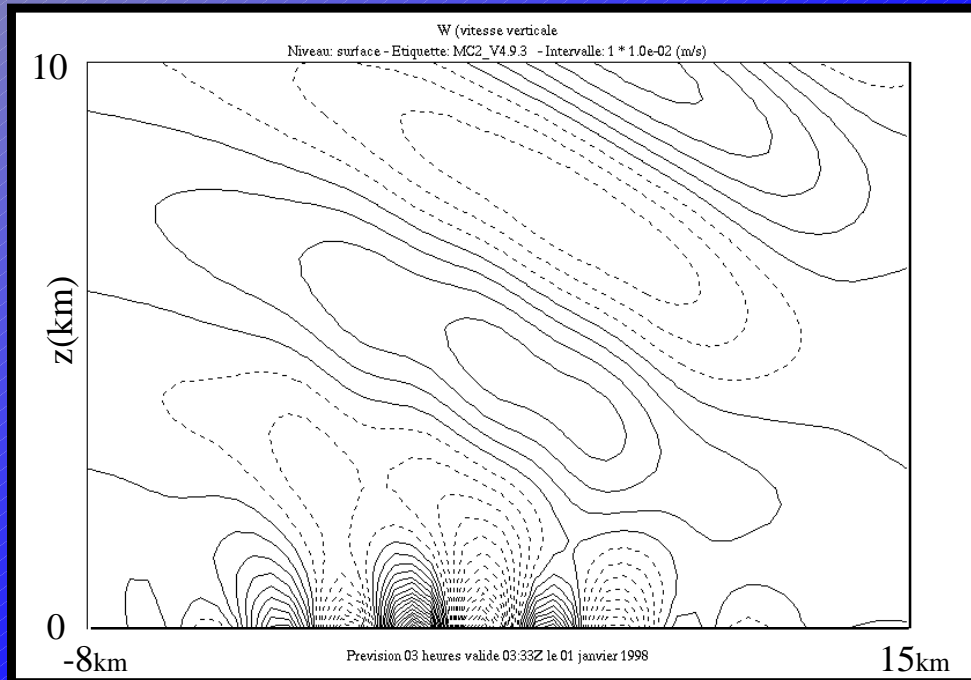
$$z_{oo} = 250 m; a = 5 km; \lambda = 4 km$$

$$L = 200 km; H = 19.5 km$$

$$\Delta x = 0.5 km; \Delta Z = 0.3 km; \Delta t = 6 s$$

$$\lambda = 8\Delta x; s_1 = 5 km; s_2 = 2 km$$

Solution
analytique



Coordonnée SLEVE

Conclusions:

- les ondes de montagne sont beaucoup mieux représentées.
- il y a beaucoup moins de bruit dans le modèle.

Oui, mais ...

... il s'est avéré que pas tous les modèles
traitent le problème théorique de façon erronée ...

... il y avait donc dans le MC2 **un problème additionnel** à celui de la
coordonnée proprement dite.

Recherche des Causes du Problème

1. Serait-ce la non-linéarité, le traitement des termes non-linéaires?

En effet, la solution analytique est linéaire. On devrait donc pouvoir enlever tous les termes non-linéaires des équations sans affecter substantiellement les résultats. Nous avons donc annulé les côtés droits des équations :

$$\frac{d\mathbf{V}_H}{dt} + \left(\nabla_z + \frac{\mathbf{G}}{G_o} \frac{\partial}{\partial Z} \right) P = 0$$

$$\frac{dw}{dt} + \left(\frac{1}{G_o} \frac{\partial}{\partial Z} - \beta^* \right) P - B = 0$$

$$\frac{d}{dt} [B - \gamma^* P] + w N_*^2 = 0$$

$$\frac{d}{dt} \left(\frac{P}{c_*^2} \right) + \left(\nabla_z + \frac{\mathbf{G}}{G_o} \frac{\partial}{\partial Z} \right) \cdot \mathbf{V}_H + \left(\frac{1}{G_o} \frac{\partial}{\partial Z} - \frac{g}{c_*^2} \right) w = 0$$

On peut également linéariser l'advection (nous l'avons fait):

$$\frac{d}{dt} = \frac{\partial}{\partial t} + \mathbf{V} \cdot \nabla + W \frac{\partial}{\partial Z} \approx \frac{\partial}{\partial t} + U_o \frac{\partial}{\partial x} + W_o \frac{\partial}{\partial Z}$$

Ici, W_o n'est pas nul. On l'obtient en négligeant la vraie vitesse w :

$$\frac{dz}{dt} = w = \frac{\partial z}{\partial t} + \mathbf{V} \cdot \nabla_z + W \frac{\partial z}{\partial Z} = -\mathbf{V} \cdot \mathbf{G} + W G_o \approx -U_o G_1 + W_o G_o = 0$$

si bien que:

$$\frac{d}{dt} \approx \frac{\partial}{\partial t} + U_o \left[\frac{\partial}{\partial x} + \frac{G_1}{G_o} \frac{\partial}{\partial Z} \right]$$

$$G_o W_o \approx G_1 U_o$$

Sont-ce donc les non-linéarités? **Eh bien! Non!**

2. Serait-ce le *schéma semi-implicite* ?

Les erreurs de discrétisation temporelle doivent normalement diminuer si l'on diminue le pas de temps (*convergence*). Est-ce le cas ici?

Eh bien! Non!

Nous avons *diminué le pas de temps* de 8 à 0.32 secondes (1/25) sans changement notable à la solution numérique!

En fait, nous avons *remplacé le schéma semi-implicite* par un schéma explicite ... sans effet.

Ce n'est donc pas le schéma semi-implicite en tant que tel.

Toutefois, la non-convergence implique l'inconsistance.

D'où l'hypothèse suivante:

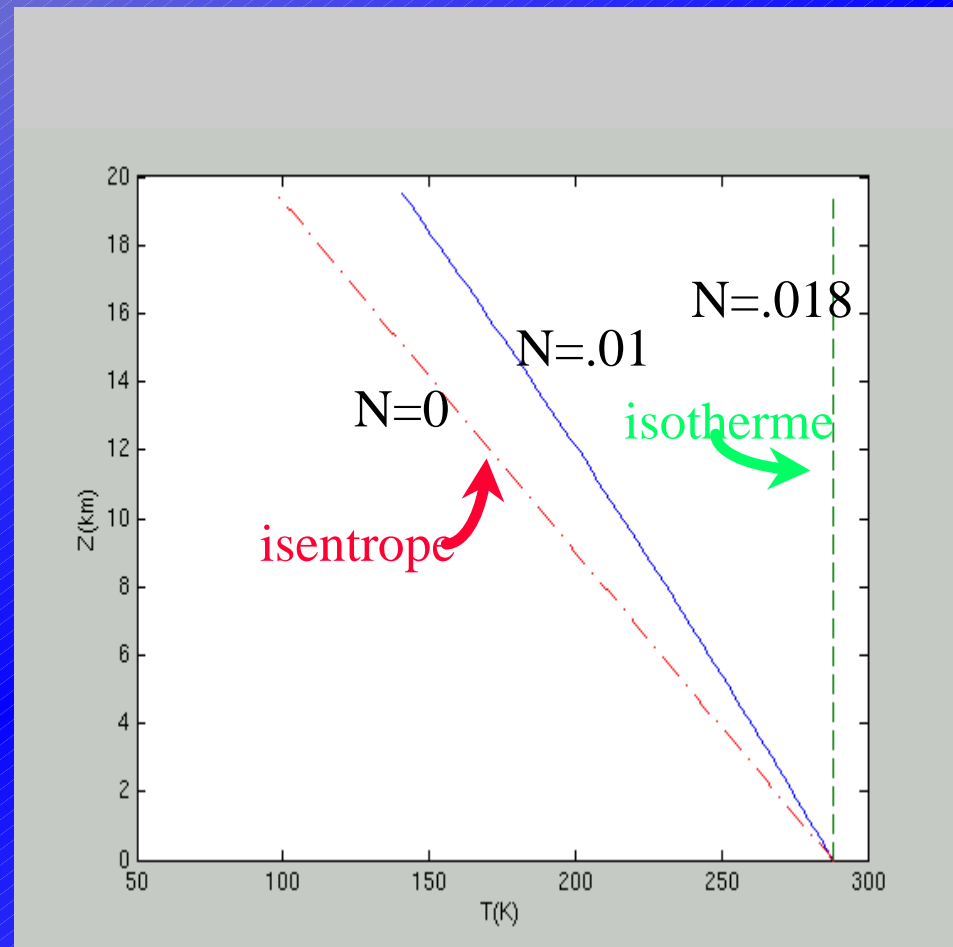
3. Serait-ce une erreur reliée au *choix de l'état de base* ?

- C'est quelque part dans la discrétisation.
- De nombreux cas d'ondes de montagne en atmosphère **isotherme** avec un état de base **isotherme** ont été bien validés par René Laprise et ses collaborateurs.
- Le cas de Shaer implique un atmosphère hautement **anisotherme**.
- *Il est donc clair* que l'utilisation d'un état de base **anisotherme** correspondant à un atmosphère **anisotherme** (faible perturbation de température et pression) résoud le problème.

Problème connu,
problème résolu.

Modifiez **N**,
la fréquence de Brunt-Väisälä,
et obtenez un profil de
température isotherme
ou modifiez T (~900K) à N constant.

La solution linéaire ne dépend pas
trop fortement de N
et pas du tout du profil.



$$\frac{N_*^2}{g} = \frac{\partial \ln T^*}{\partial z} + \frac{g}{c_p T^*}$$

Etat de base anisotherme

$$P = RT^* q'$$

$$q' = \ln(p/p^*)$$

$$\beta^* = \frac{\partial \ln T^*}{\partial z}$$

$$B = g \frac{T'}{T^*}$$

$$T' = T - T^*$$

$$\frac{d\mathbf{V}_H}{dt} + \nabla_z P = \mathbf{R}_H$$

$$\gamma^* = \frac{g}{c_p T^*}$$

$$\frac{dw}{dt} + \left[\frac{\partial}{\partial z} - \beta^* \right] P - B = R_w$$

$$N_*^2 / g = \beta^* + \gamma^*$$

$$\frac{d}{dt} (B - \gamma^* P) + w N_*^2 = R_B$$

$$\frac{d}{dt} \left(\frac{P}{c_*^2} \right) + \nabla_z \cdot \mathbf{V}_H + \left[\frac{\partial}{\partial z} - \frac{g}{c_*^2} \right] w = R_P$$

Etat de base anisotherme

n.b. $N_{*i,j,k}^2$; $c_{*i,j,k}^2$

$$\frac{d\mathbf{V}_H}{dt} + \nabla_z P = \mathbf{R}_H$$

$$\mathbf{B} = g \left(\frac{T'}{T^*} - \frac{R}{c_p} q' \right)$$

$$\frac{dw}{dt} + \left[\frac{\partial}{\partial z} - \frac{N_*^2}{g} \right] P - \mathbf{B} = R_w$$

$$P = RT^* q'$$

$$\frac{d\mathbf{B}}{dt} + w N_*^2 = R_B$$

$$\frac{d}{dt} \left(\frac{P}{c_*^2} \right) + \nabla_z \cdot \mathbf{V}_H + \left[\frac{\partial}{\partial z} - \frac{g}{c_*^2} \right] w = R_P$$

$$N_*^2 = g \frac{\partial \ln \theta^*}{\partial z}$$

$$c_*^2 = \frac{c_p}{c_v} RT^*$$

Etat de base anisotherme

Conclusions

Ça marche pour le cas théorique!

C'est, de plus, une option intéressante.

Mais, en pratique (cas réels), le résultat est décevant:

- il est apparemment impossible de choisir un état de base qui soit optimum pour toutes les situations;

- la question de stabilité numérique du schéma semi-implicite se pose de façon importante.

4. Consistance numérique, l'analyse

- a) C'est Klemp qui le premier a réalisé que le problème de consistance était entre
- d'une part, la discrétisation des termes métriques et
 - d'autre part, le schéma d'advection.

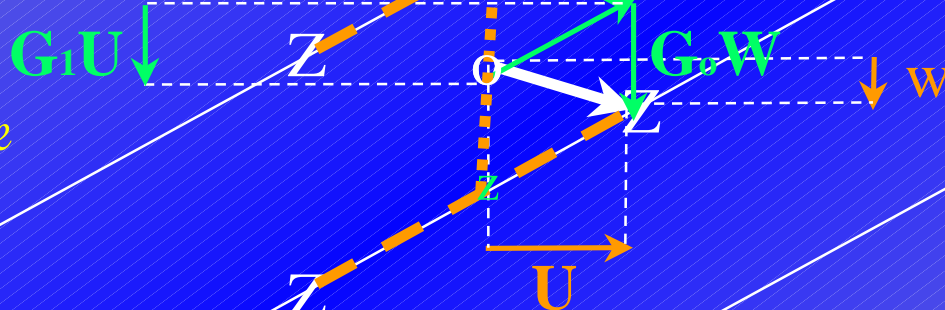
Il l'a clairement montré dans son modèle pour un schéma d'advection Eulérien.

- b) Pour le schéma semi-Lagrangien, avec le MC2,
- il a montré que, si on utilisait un schéma d'interpolation quadratique, plutôt que cubique,
 - non seulement l'erreur était considérablement amoindrie
 - mais aussi alors il y avait retour de la convergence.
 - il a proposé sa solution: faire une interpolation cartésienne plutôt que l'interpolation sur la grille oblique du modèle.
 - il ne l'a cependant pas implanté (travail pour nous?)

Interpolation sur la grille oblique du modèle

grille penchée

grille boss_ée



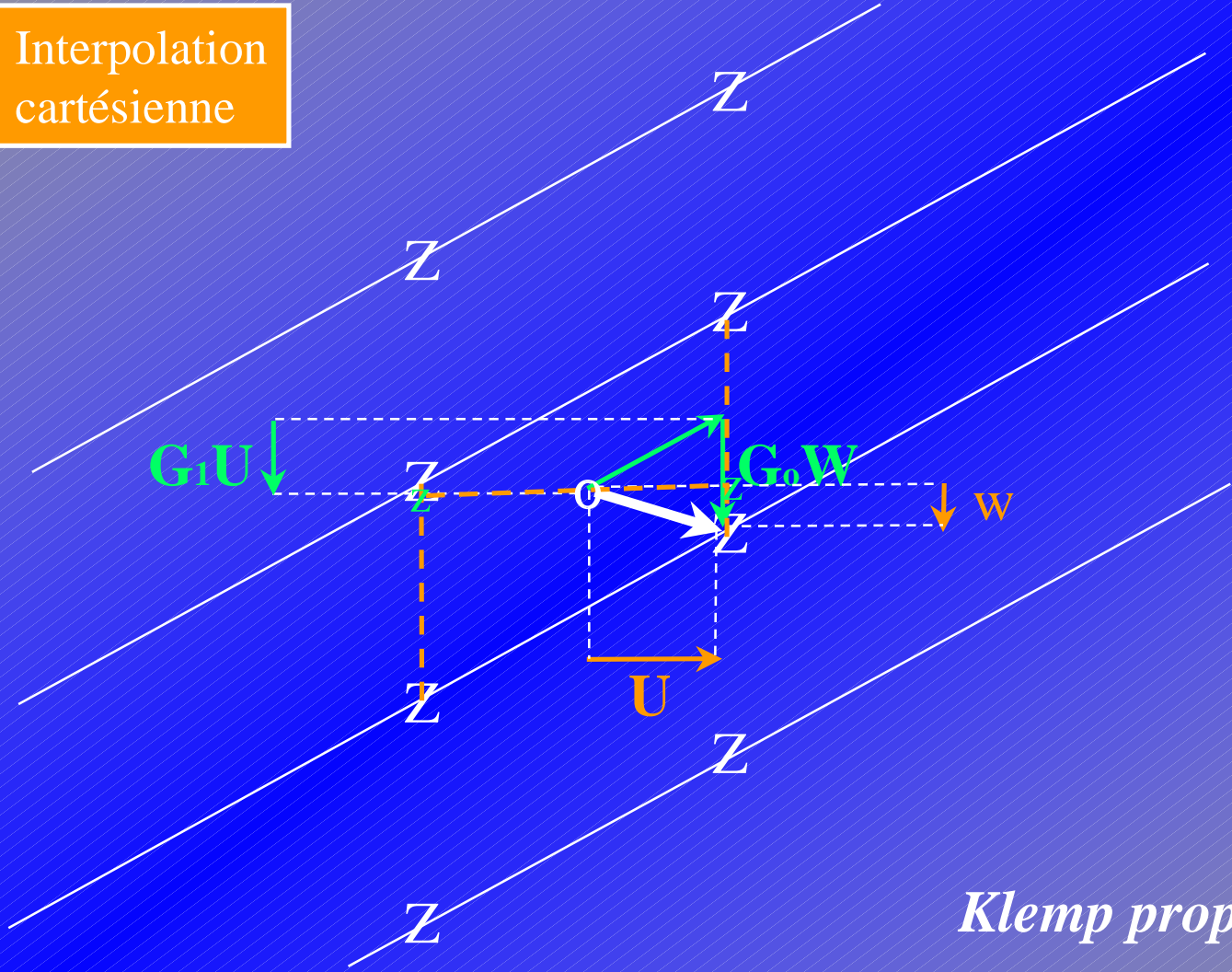
$$G_0 W = G_1 U + w$$

$$G_0 = \frac{\partial z}{\partial Z}$$

$$-G_1 = \frac{\partial z}{\partial x}$$

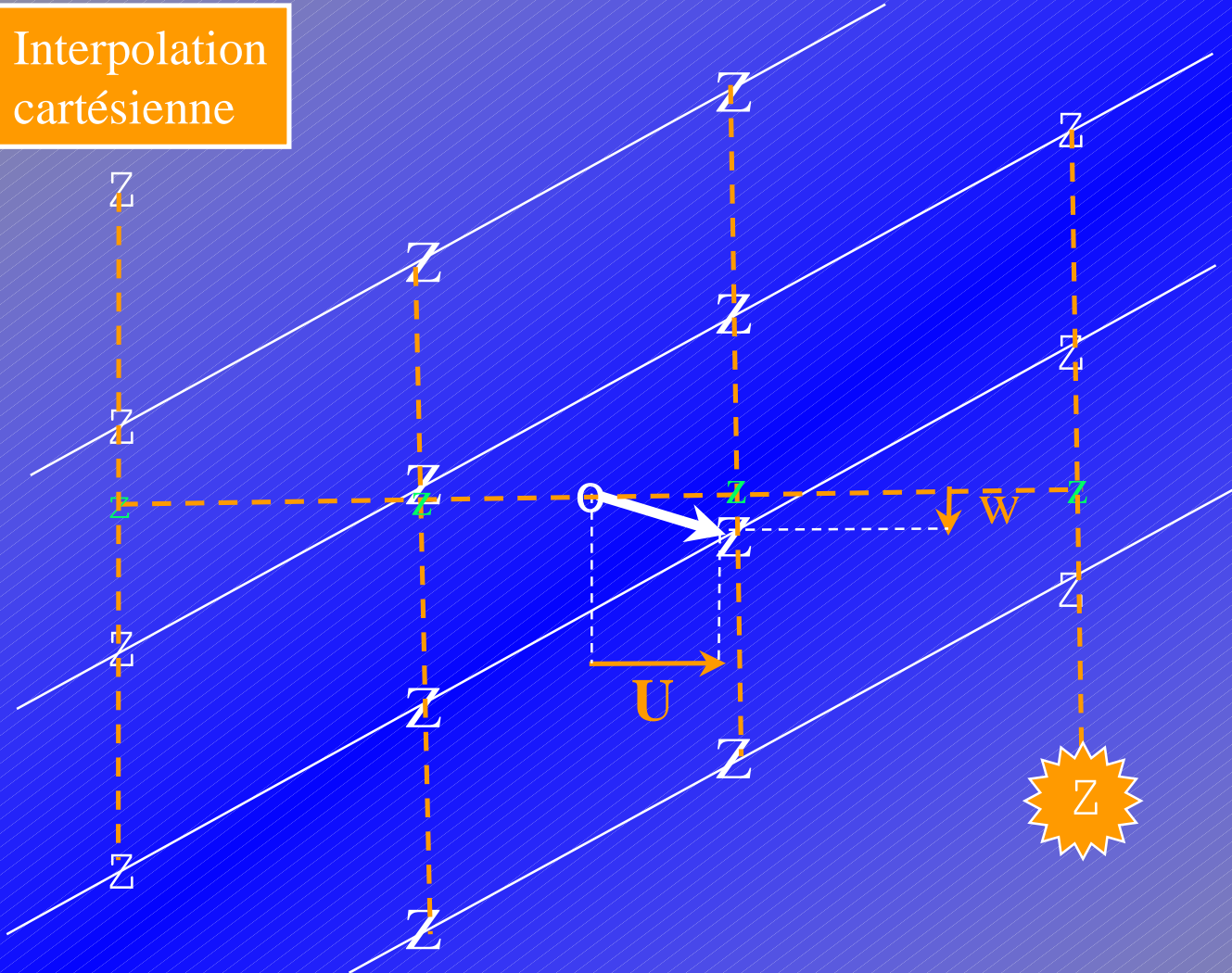
PowerPoint
 Merci à
 A. Zadra
 J. Pudykiewicz

Interpolation
cartésienne



Klemp propose ...

Interpolation
cartésienne



5. Consistance numérique, existe-t-il une autre approche?

Eh bien! Oui!

Le modèle converge vers la solution

lorsqu'on augmente le pas de temps

pour se rapprocher d'un nombre de Courant $C_0=1$!

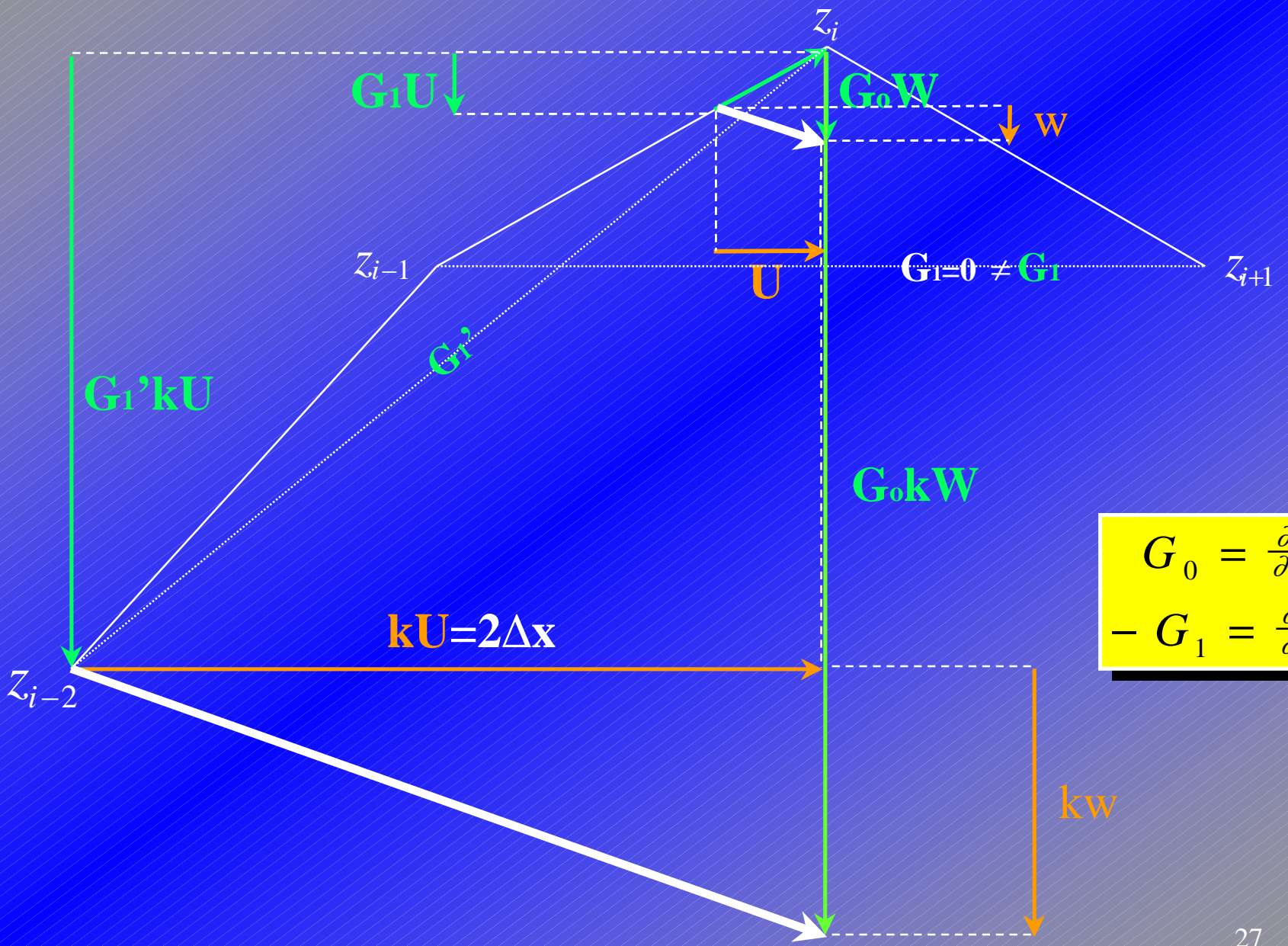
Voici pourquoi:

$$G_0 W \approx U_0 G_1 \approx -U_0 \delta_x \bar{z}^x = -U_0 (z_{i+1} - z_{i-1}) / 2\Delta x$$
$$2\Delta t (G_0 W)_{i-1} \approx -C_0 (z_i - z_{i-2})$$

Donc

$$2\Delta t G_0 W (C_0 = 1; Z = const.) \equiv z_{i-2} - z_i \equiv \Delta Z_{lag}$$

Correspondance! Mais seulement lorsque $C=1$!



$$G_0 = \frac{\partial z}{\partial Z}$$

$$-G_1 = \frac{\partial z}{\partial x}$$

La relation diagnostique entre w et W fait intervenir l'advection horizontale

$\mathbf{V} \cdot \nabla_z$ de la vraie hauteur z :

$$w = \frac{dz}{dt} = \frac{\partial z}{\partial t} + \mathbf{V} \cdot \nabla_z + W \frac{\partial z}{\partial Z} = -\mathbf{V} \cdot \mathbf{G} + WG_0$$

$$-G_1 = \delta_x \bar{z}^x$$

Curieusement, c'est un terme d'advection calculé de façon Eulérienne.!?!?

Qu'arrive-t-il si on le calcule de façon Lagrangienne?

En effet, puisque $\partial z / \partial t = 0$ on a $\mathbf{V} \cdot \nabla_z = (dz / dt)_z$, d'où $\Delta z_{lag} = z - z^*$

$$w = \left(\frac{dz}{dt} \right)_z + G_0 W \quad \rightarrow \quad G_0 W = w - \left(\frac{dz}{dt} \right)_z = w - \frac{z - z^*}{2\Delta t}$$

On fait donc

$$G_0 \tilde{W} 2\Delta t = \tilde{w} 2\Delta t + z^* - z$$

$$\begin{aligned} z &= z(\mathbf{r}, Z, t + \Delta t) \\ z^* &= z(\mathbf{r} - 2\delta\mathbf{r}, Z, t - \Delta t) \\ \tilde{f} &= \tilde{f}(\mathbf{r} - \delta\mathbf{r}, Z - \delta Z, t) \end{aligned}$$

Eh bien! Ça marche et même très bien!

MC2 SLAGW

Ondes de montagne
simulation 2d

$$N_o = 10^{-2} s^{-1}; U_o = 10 ms^{-1}$$

$$T_o = 288 K; p_o = 10^5 Pa$$

$$z_o = z_{oo} e^{-\left(\frac{x}{a}\right)^2} \cos^2\left(\frac{\pi x}{\lambda}\right)$$

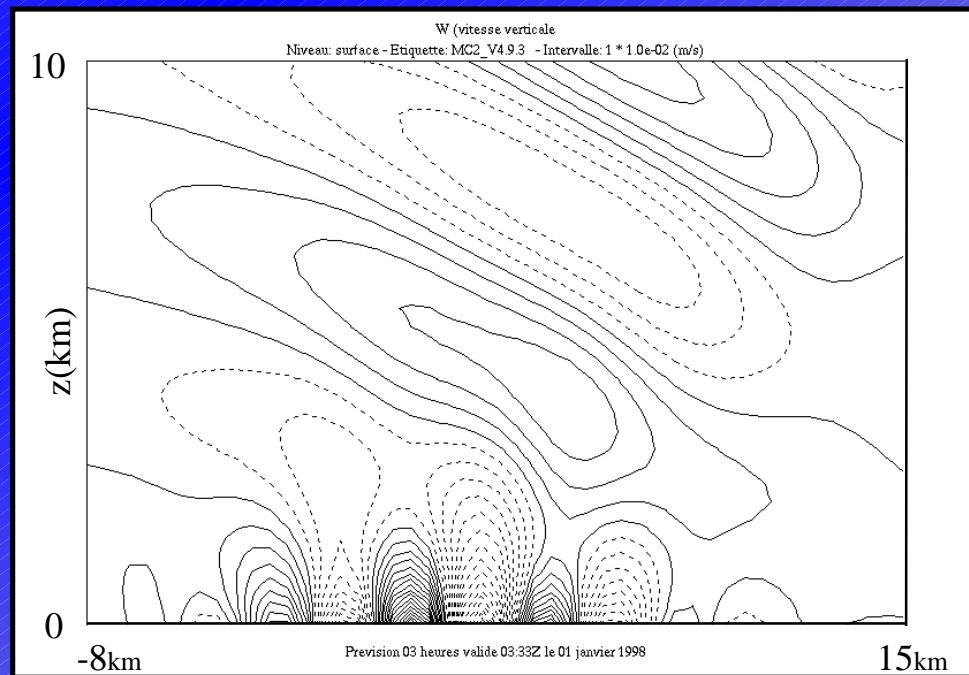
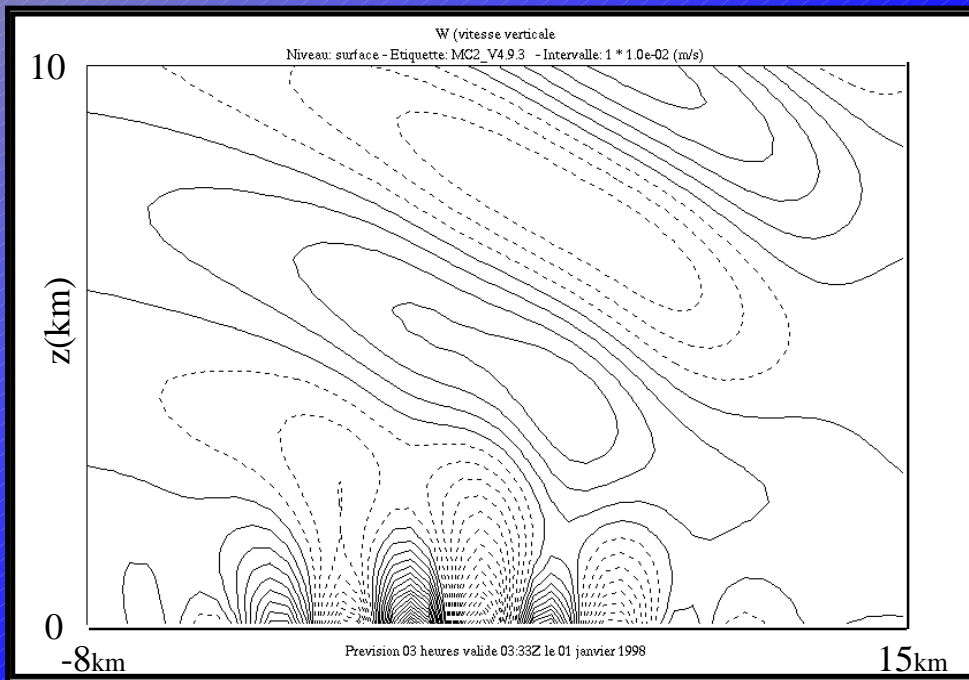
$$z_{oo} = 250 m; a = 5 km; \lambda = 4 km$$

$$L = 200 km; H = 19.5 km$$

$$\Delta x = 0.5 km; \Delta Z = 0.3 km; \Delta t = 6 s$$

$$\lambda = 8\Delta x; s_1 = 5 km; s_2 = 2 km$$

Solution
analytique



Solutions du problème dans le cas théorique

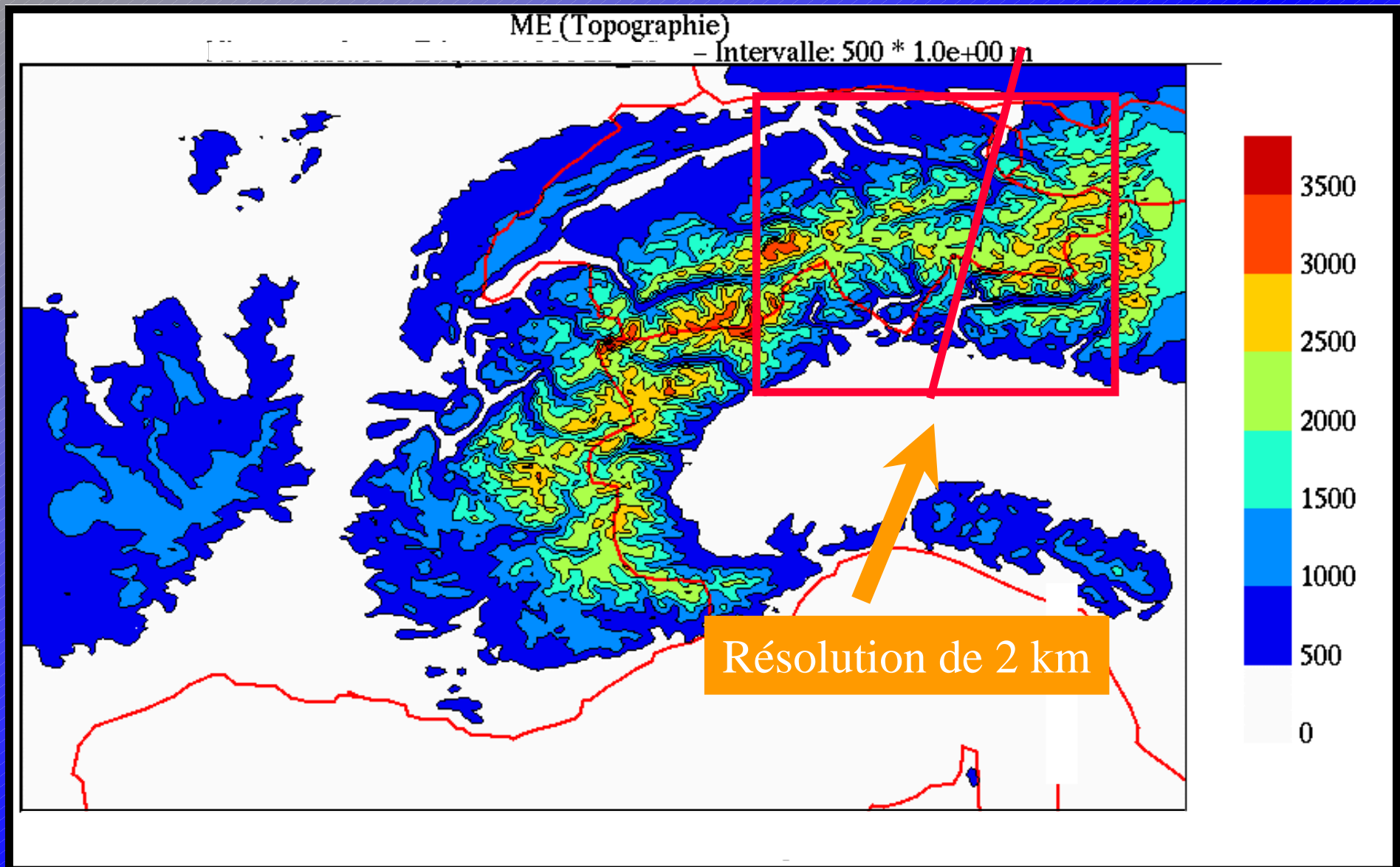
- 1. ajuster la **fréquence N** pour avoir un profile isotherme
- 2. ajuster **T_s** pour avoir un profile isotherme sans changer N
- 3. utiliser un **état de base anisotherme** correspondant à N
- 4. utiliser un **schéma Eulérien** précis au deuxième ordre
- 5. utiliser une **interpolation quadratique** dans le semilag
- 6. interpoler sur une **grille cartésienne**
- 7. utiliser un nombre de **Courant égal à l'unité**
- 8. utiliser la **coordonnée SLEVE**
- 9. calculer **W** de façon semi-Lagrangienne

Solutions du problème de bruit dans les cas réels?

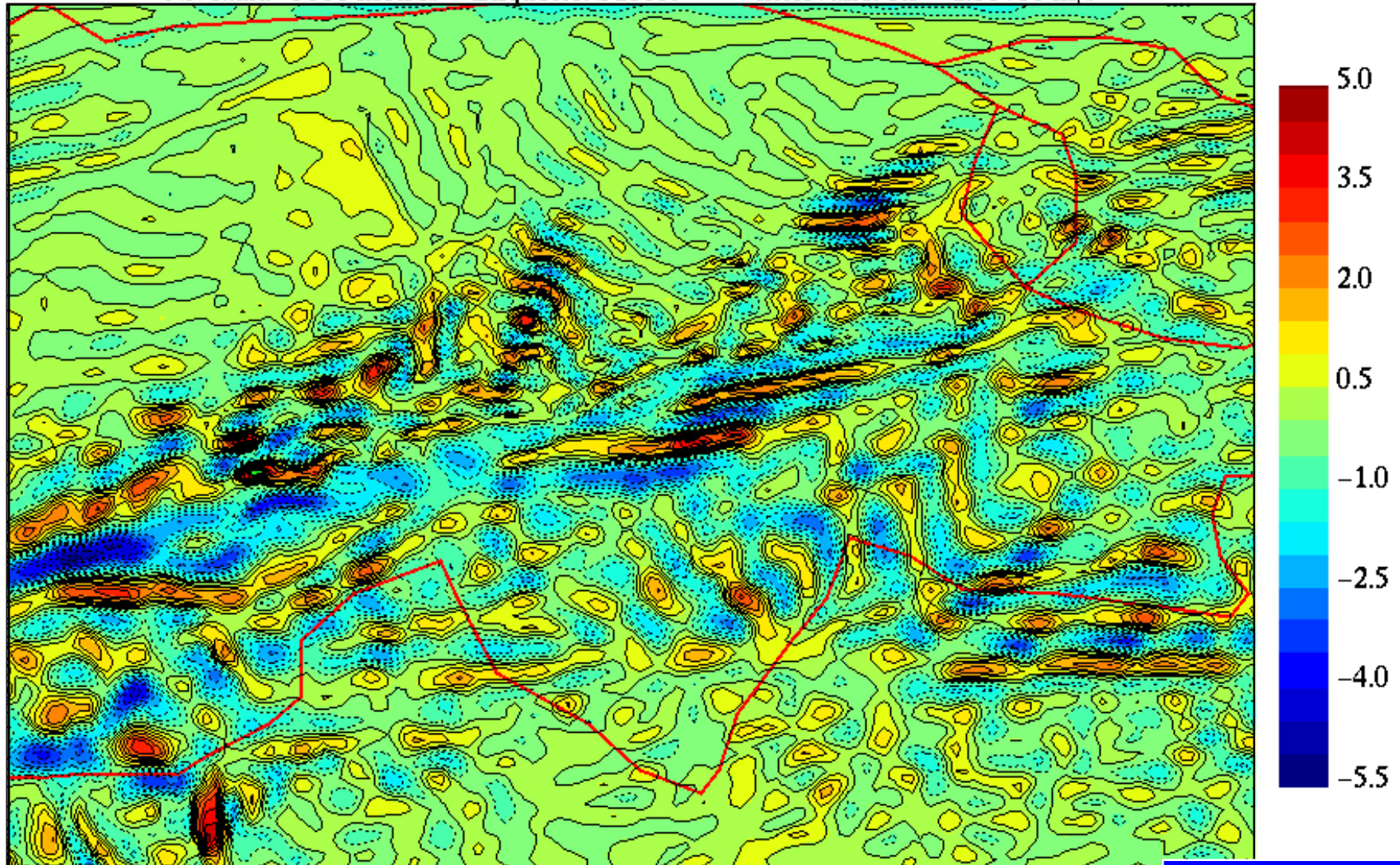
Nous proposons ...

- utiliser la **coordonnée SLEVE**
- calculer **W** de façon semi-Lagrangienne

Un cas réel: Expérience MAP, 12Z, le 19 septembre 1999



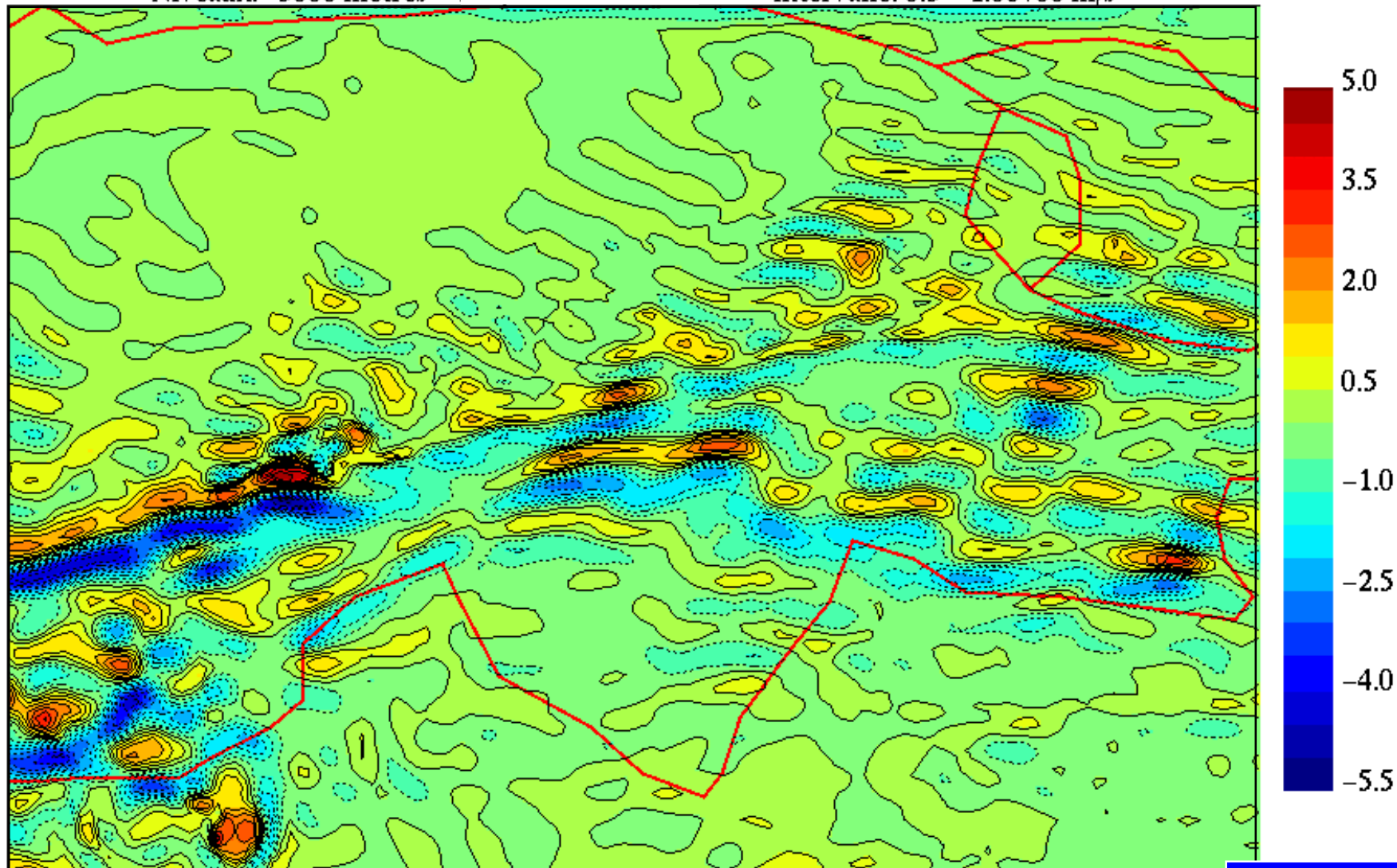
Niveaux: 5000 metres - w vitesse verticale - intervalle: 0.5 * 1.0e+00 m/s



Prevision 06 heures valide 18:00Z le 19 septembre 1999

GALCHEN

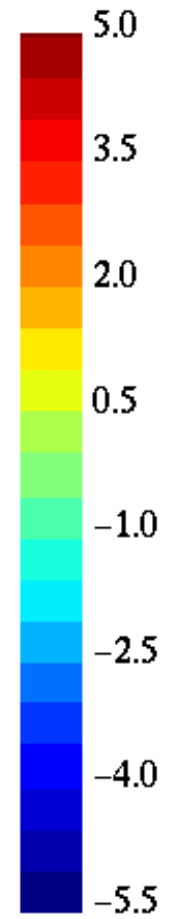
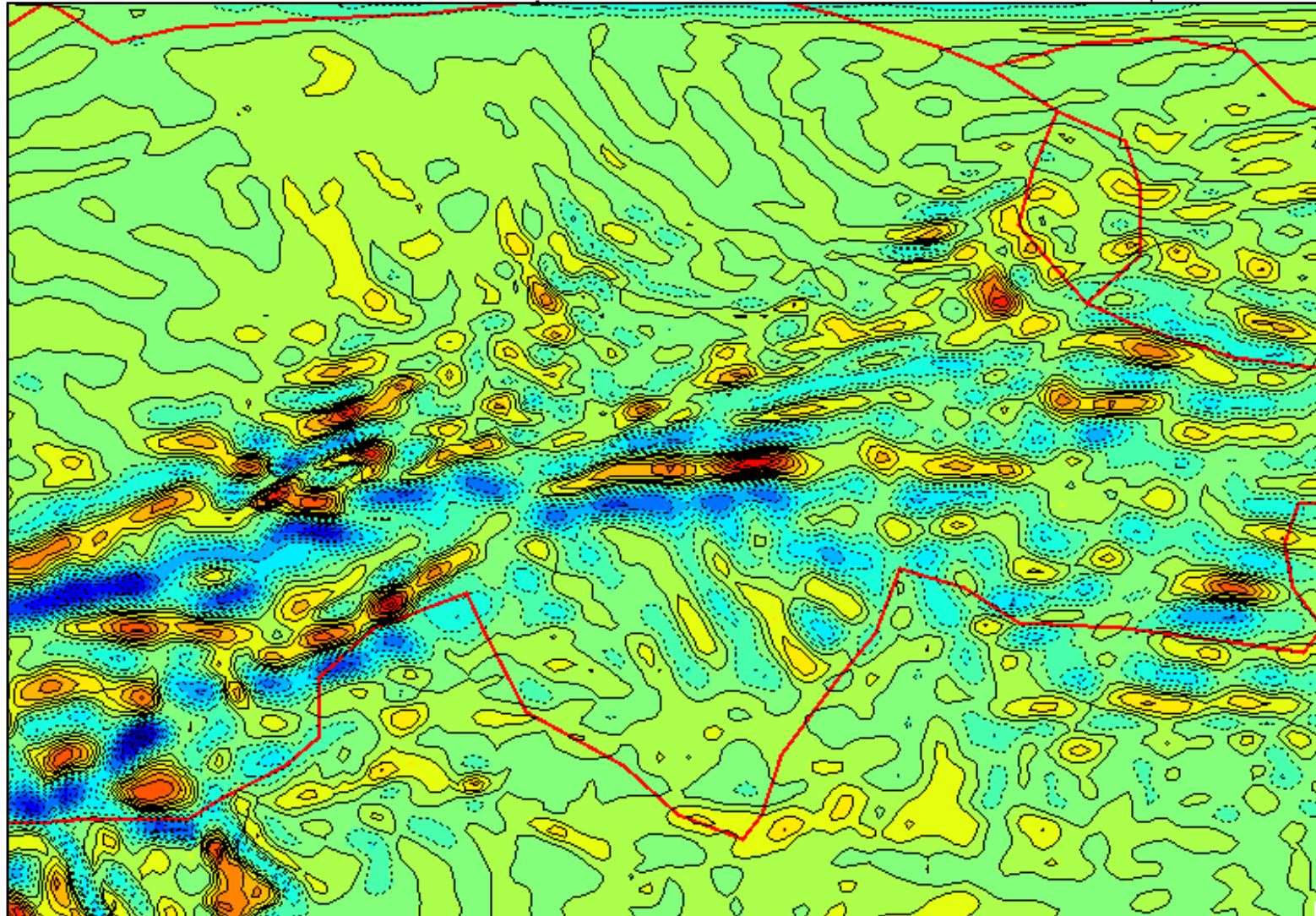
Niveaux: 5000 metres - w vitesse verticale - Intervalle: $0.5 * 1.0e+00$ m/s



Prevision 06 heures valide 18:00Z le 19 septembre 1999

SLAGW

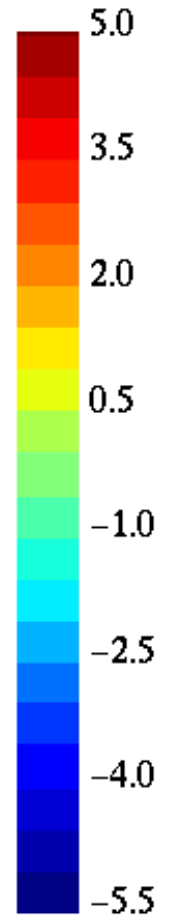
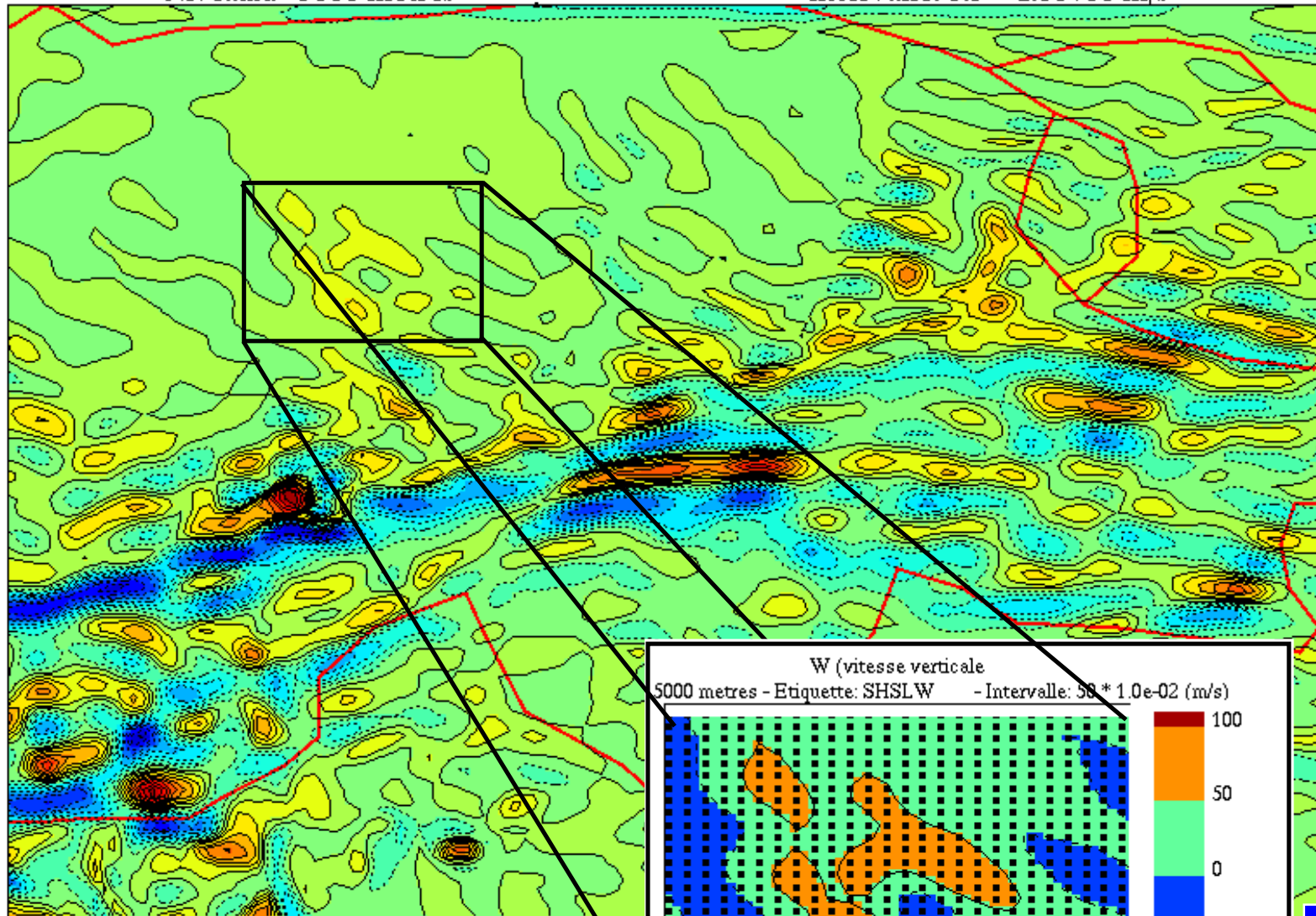
w vitesse verticale
Niveaux: 5000 metres - - Intervalle: 0.5 * 1.0e+00 m/s



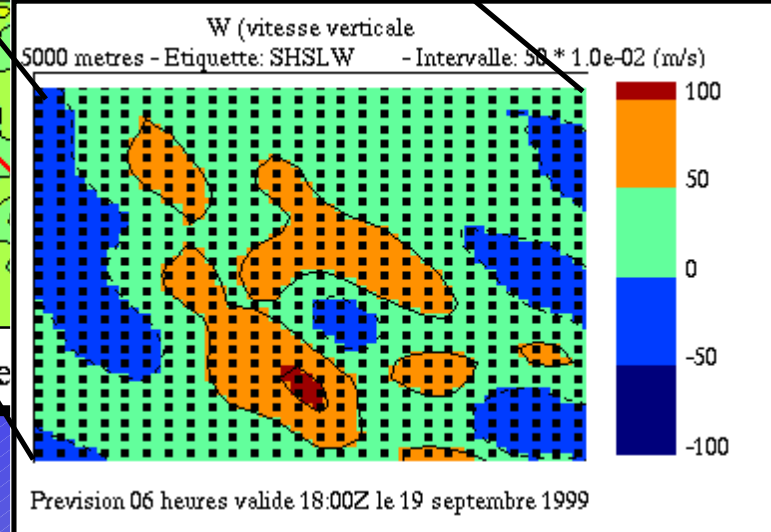
Prevision 06 heures valide 18:00Z le 19 septembre 1999

SLEVE

Niveaux: 5000 metres - w vitesse verticale - Intervalle: $0.5 * 1.0e+00$ m/s

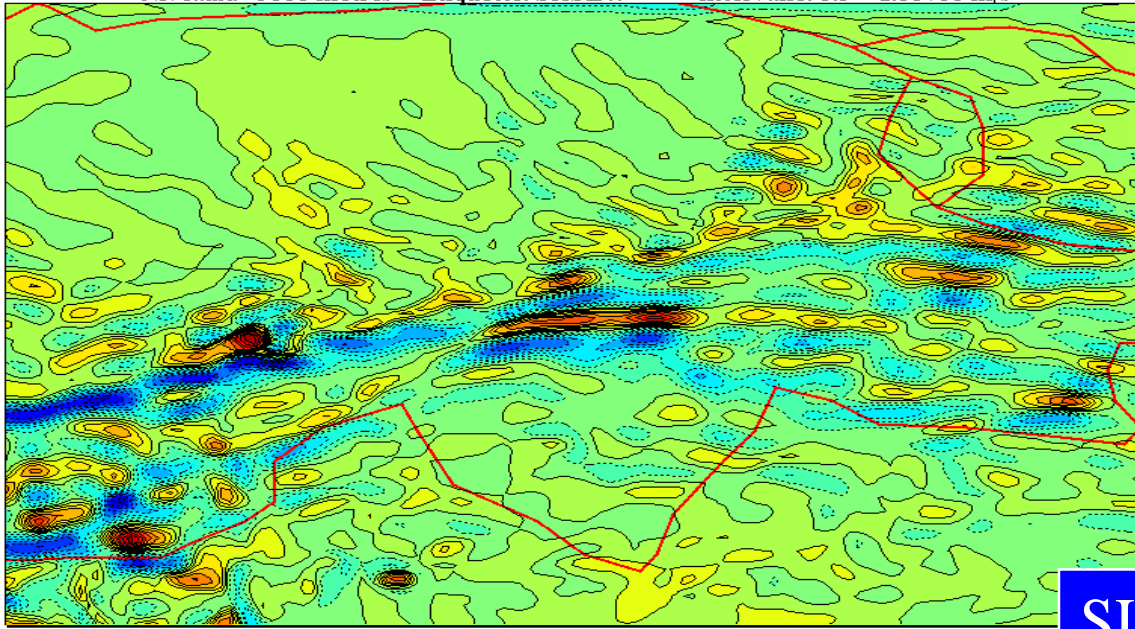


Prevision 06 heures valide



SLSLW

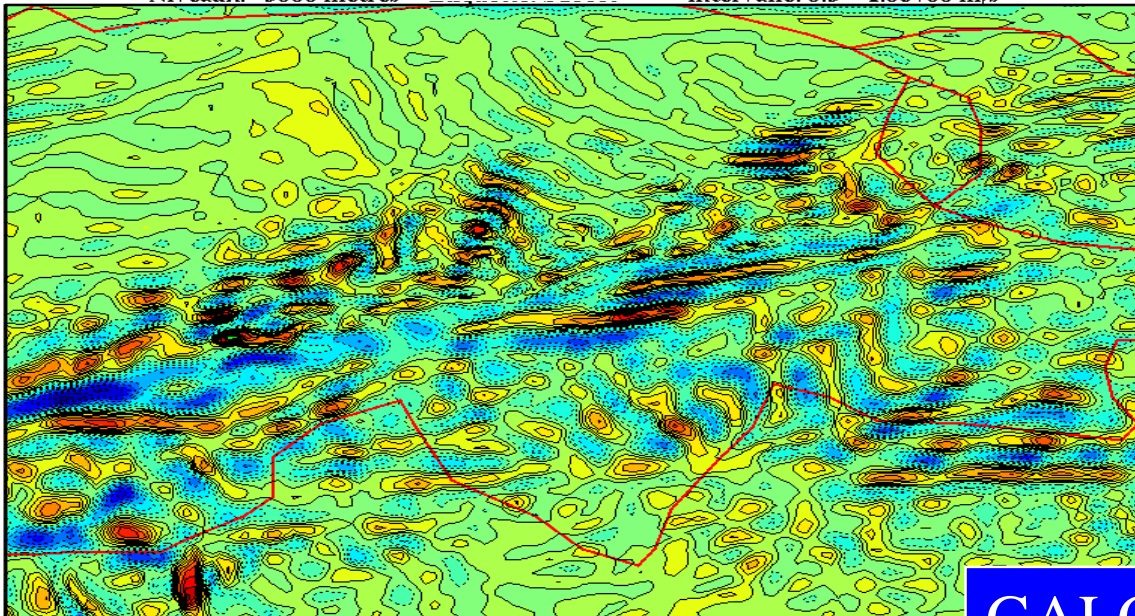
Niveaux: 5000 metres - Etiquette: SHSLW - Intervalle: 0.5 * 1.0e+00 m/s



SLSLW

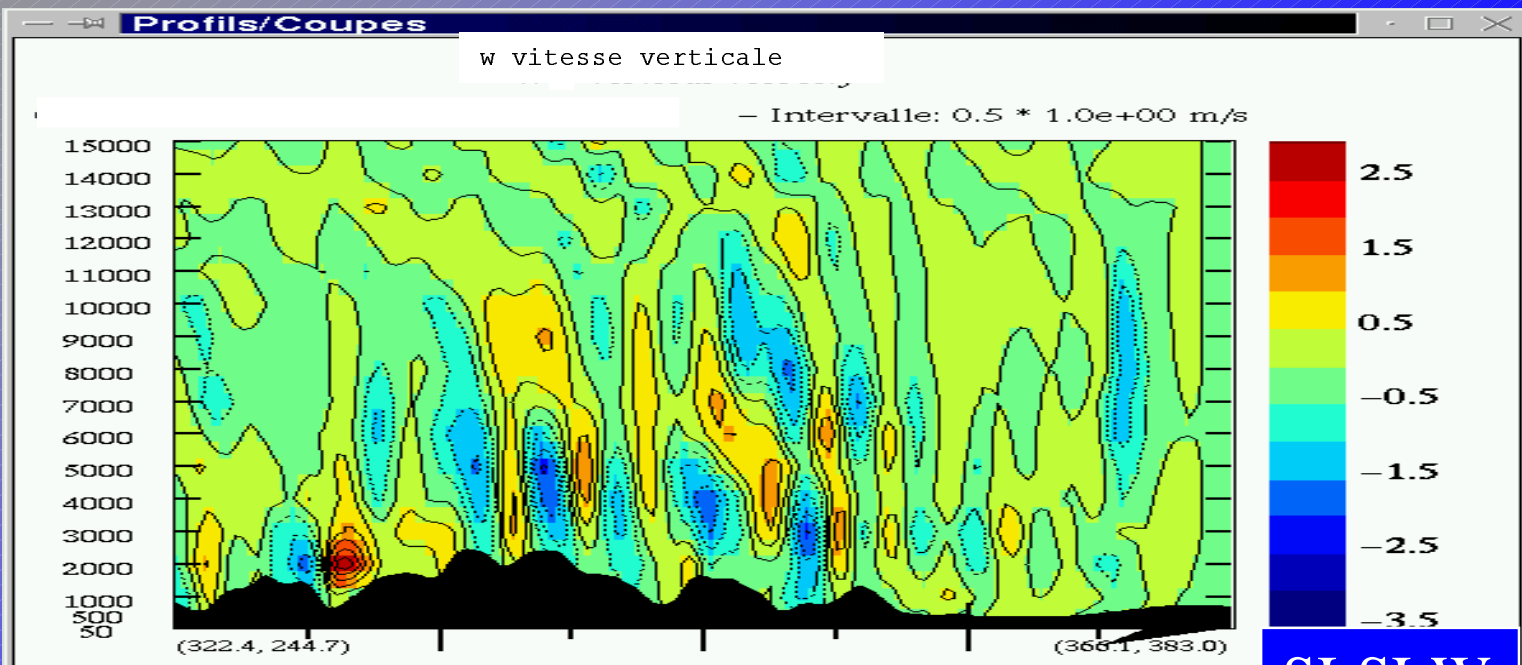
Prevision 06 heures valide 18:00Z le 19 septembre 1999

Niveaux: 5000 metres - Intervalle: 0.5 * 1.0e+00 m/s

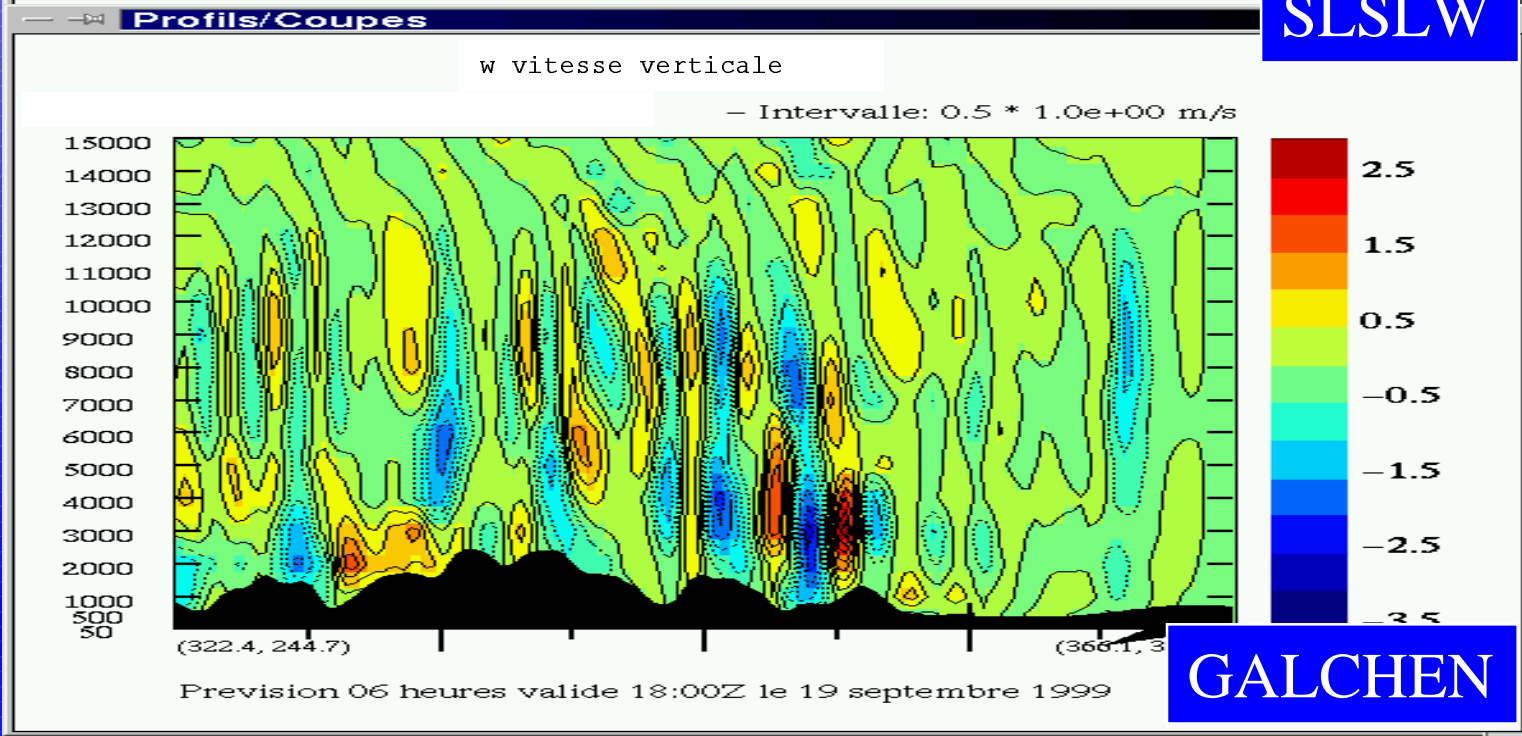


GALCHEN

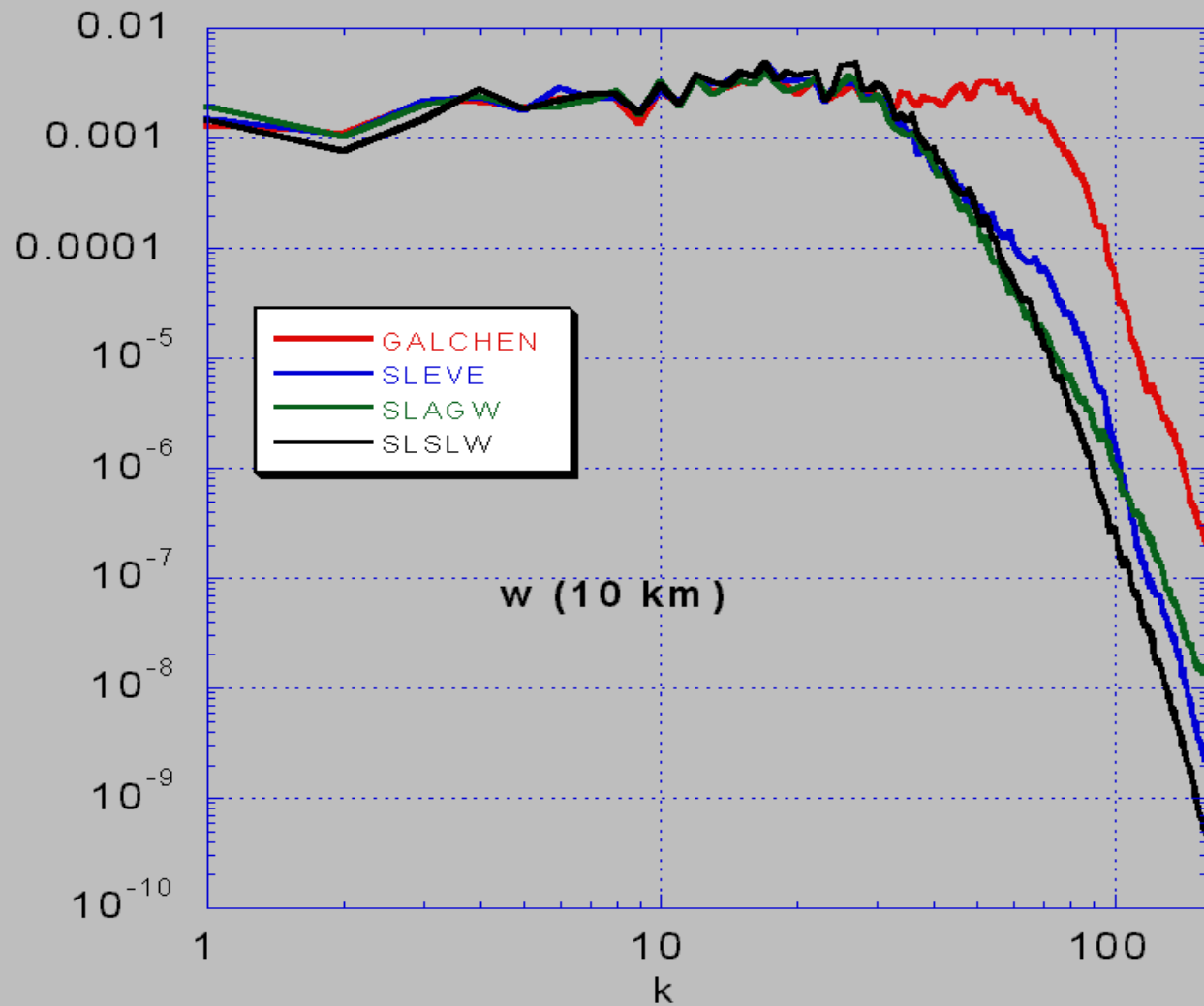
Prevision 06 heures valide 18:00Z le 19 septembre 1999



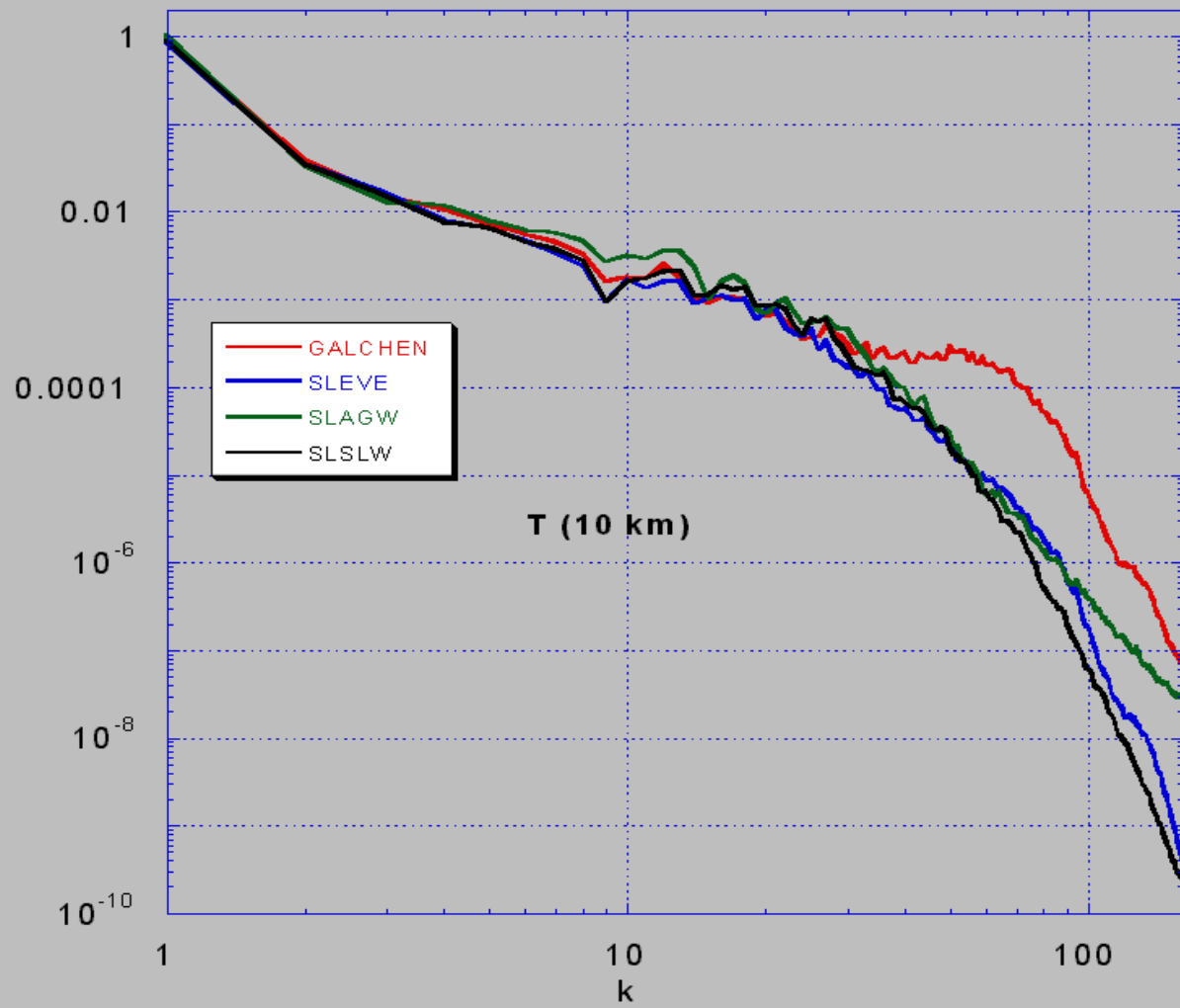
SLSLW

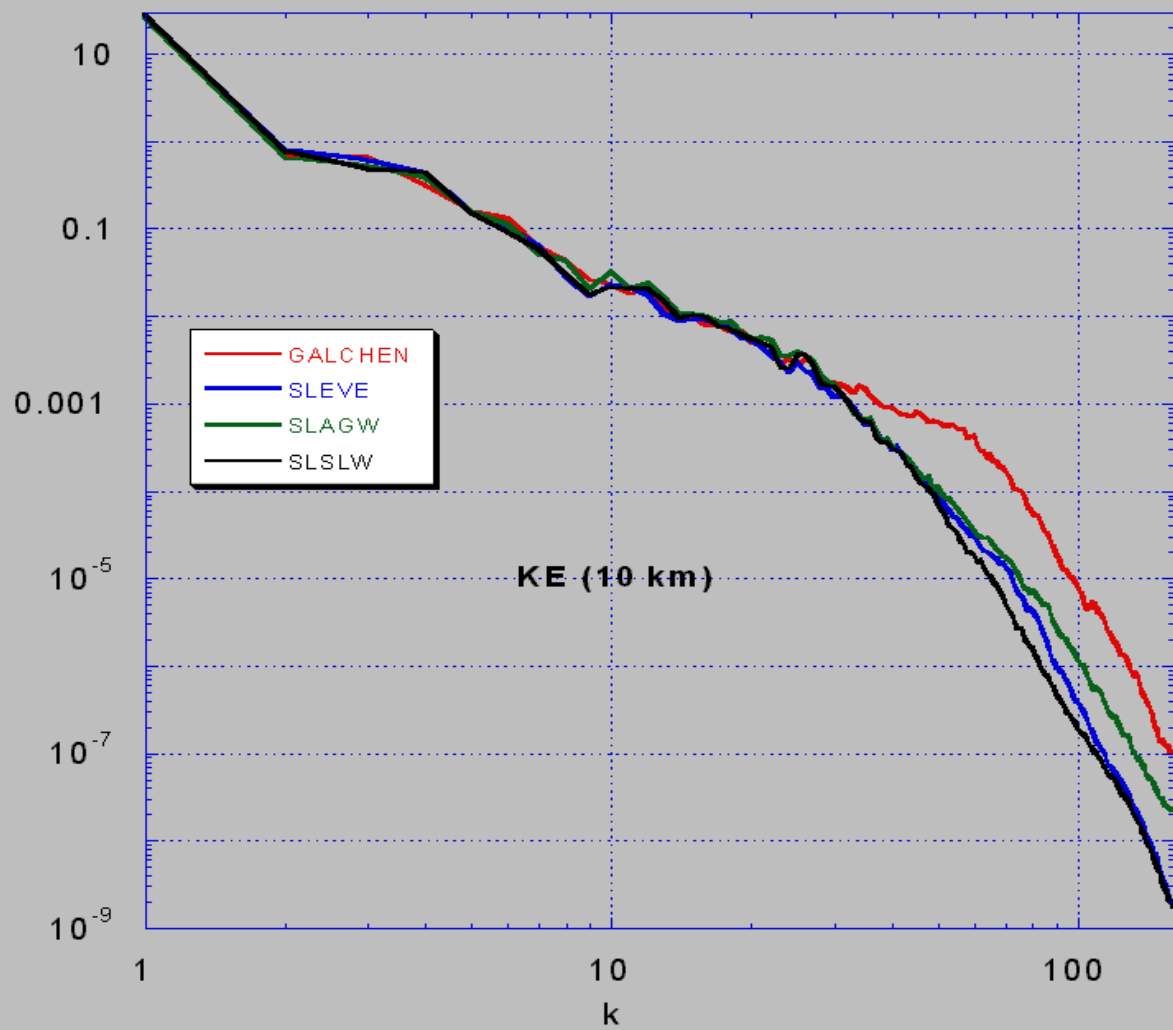


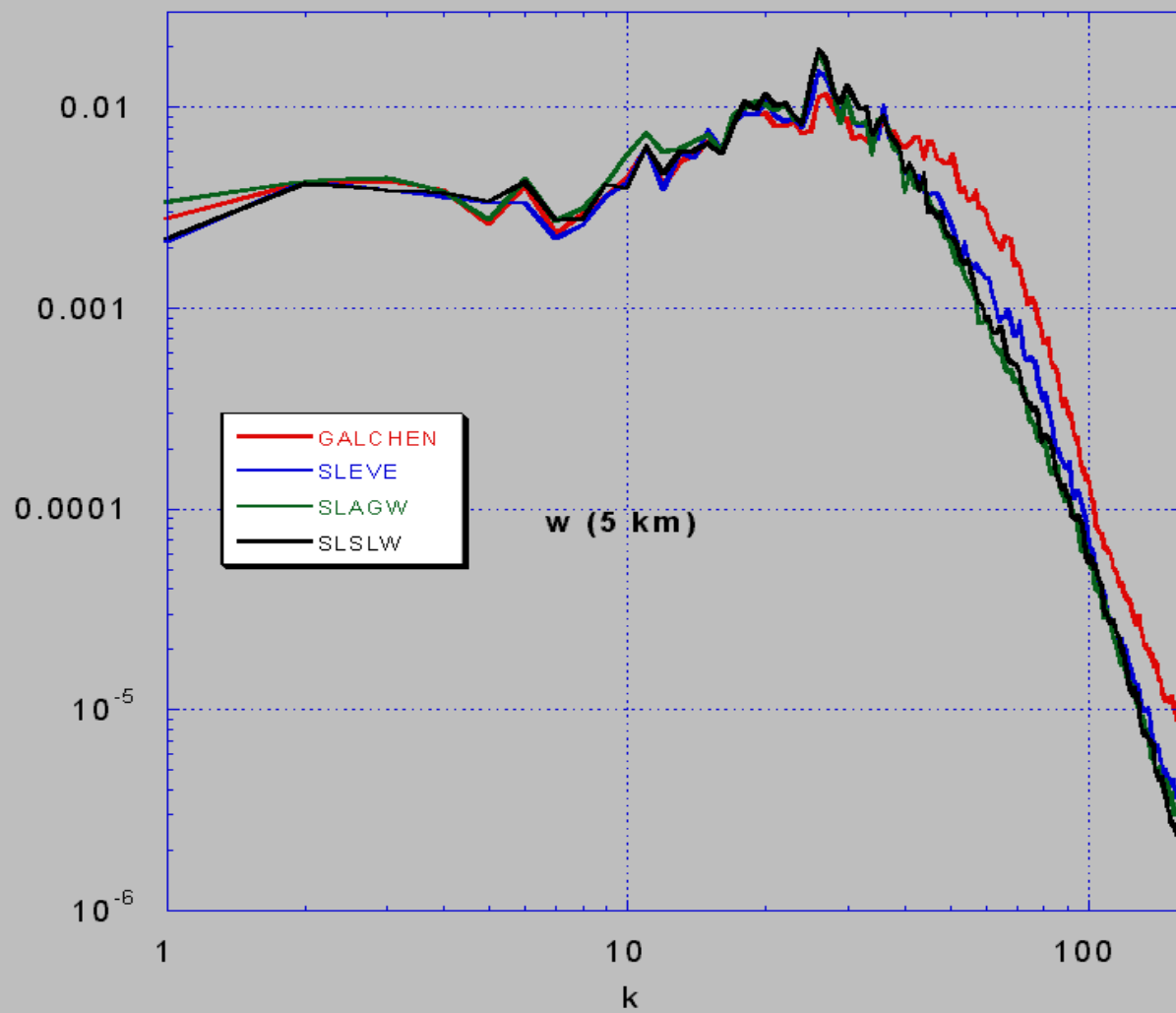
GALCHEN

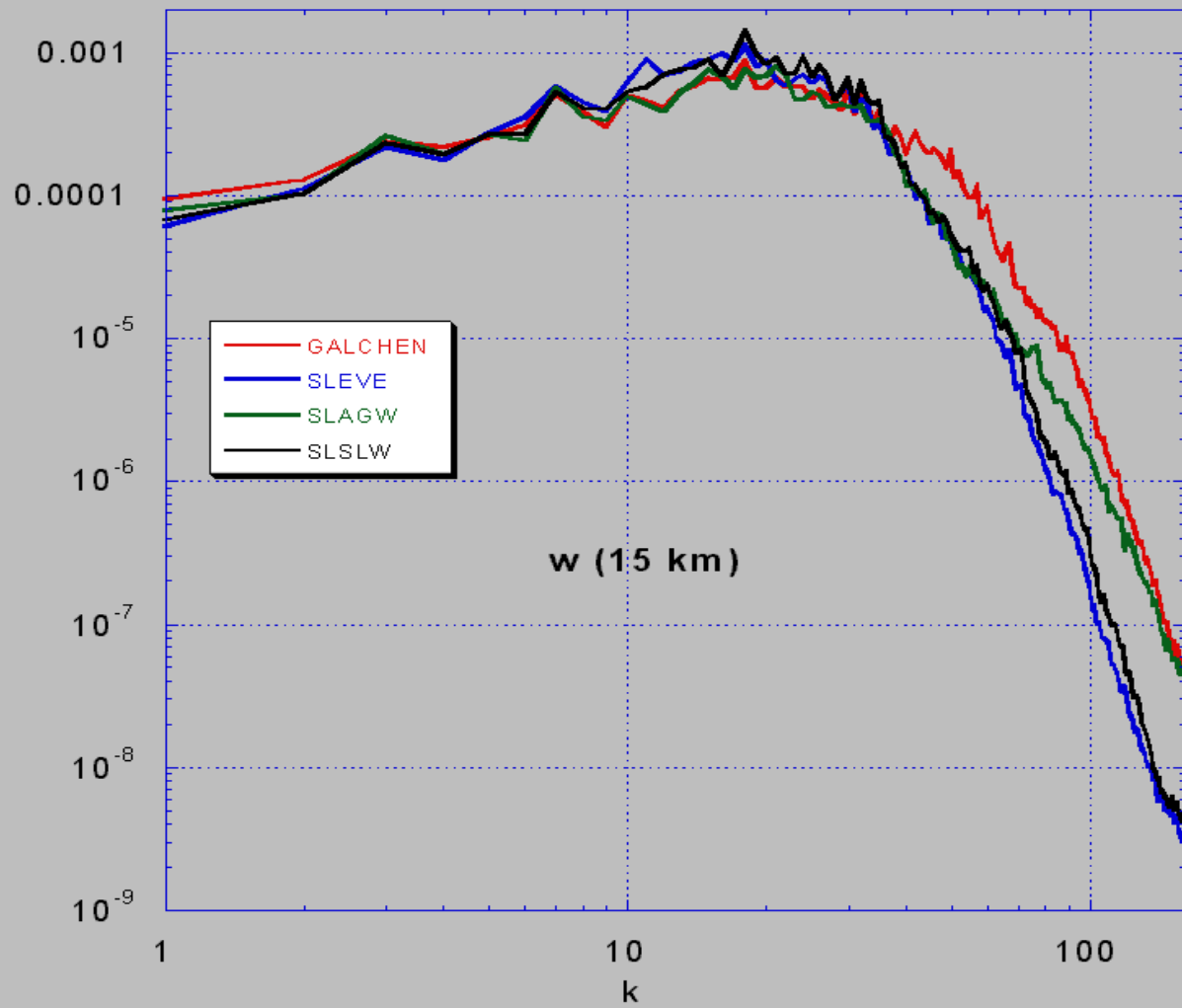


Spectres
Merci à
B. Denis
B. Dugas









En résumé,

deux modifications majeures ont été apportées à la dynamique du MC2

1. Généralisation de la coordonnée verticale Z
 z , GALCHEN, SLEVE, etc...

2. Généralisation de l'état de base,
ISOTHERME, ISENTROPE, etc...
et des variables de base: P , B

$$P = RT^* q' + gz_T'$$
$$B = g \left(\frac{T^*}{T^*} - \frac{R}{c_p} q' \right)$$

un problème de bruit dû à une inconsistance numérique a été

- diagnostiqué: *Shaer et al.*
- analysé: *Klemp et al.*
- solutionné: *Girard et al.*

Fin

Merci à
Y. Chartier
L. Corbeil
M. Lépine
M. Valin